

Методы поиска областей открытия/закрытия в видео и способы их улучшения

Великанов Максим
*Video Group
CS MSU Graphics&Media Lab*

Содержание

- Введение
- Методы поиска областей открытия/закрытия
- Методы построения оптического потока
- Заключение

Введение

Оптический поток



1 кадр

2 кадр

оптический поток

направление движения

Введение

Области открытия/закрытия



видео

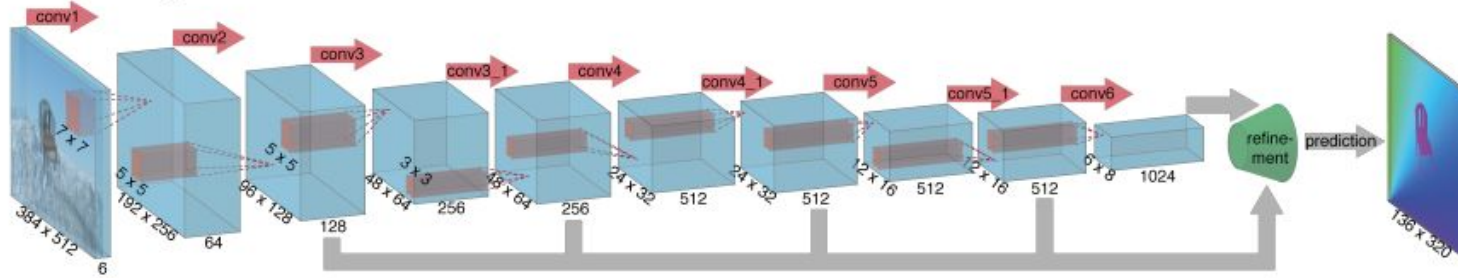
оптический поток

области открытия/закрытия

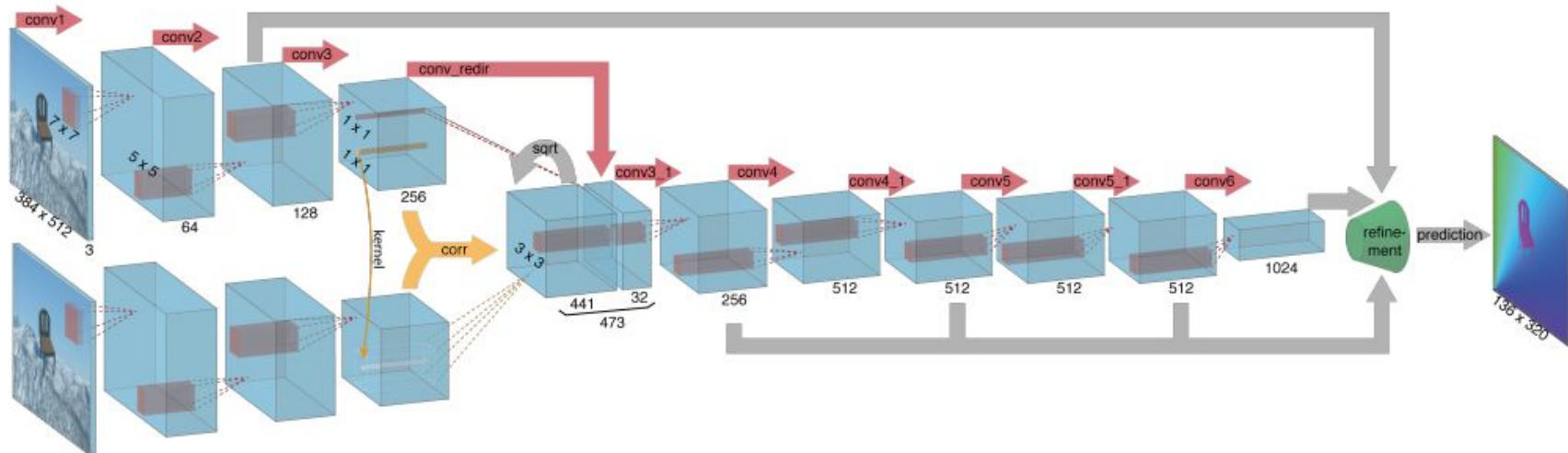
Введение

FlowNet — encoder

FlowNetSimple

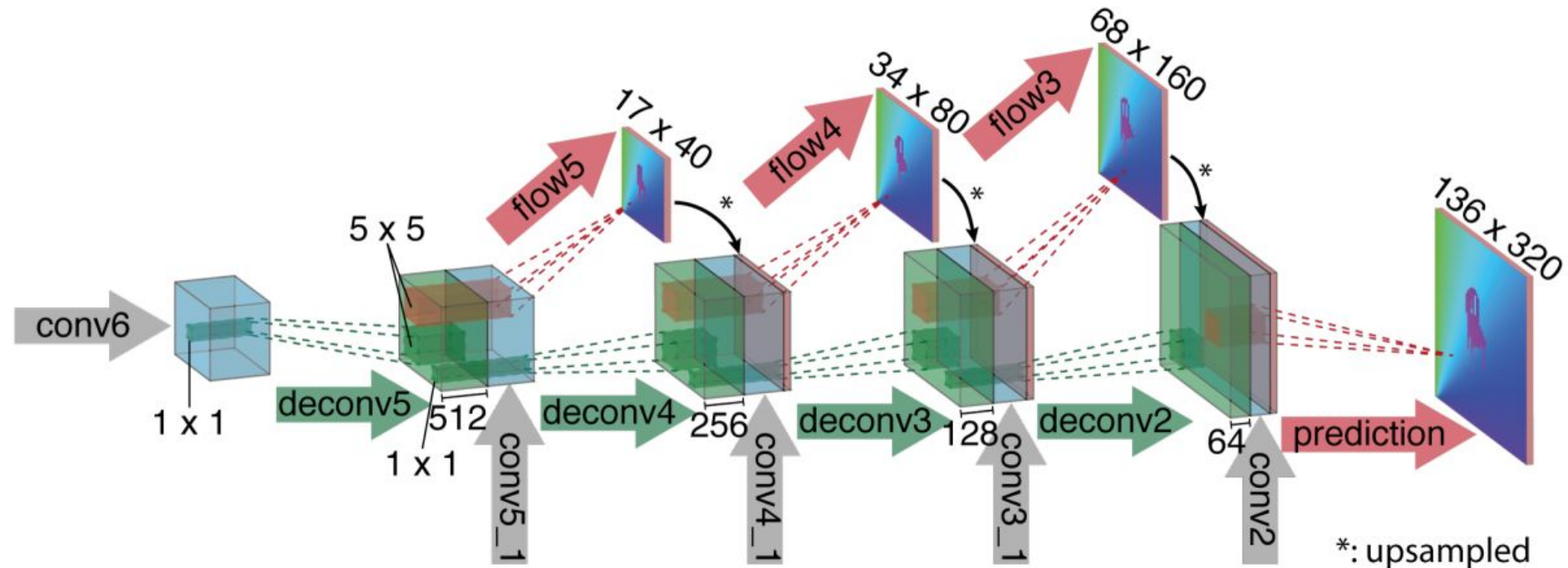


FlowNetCorr

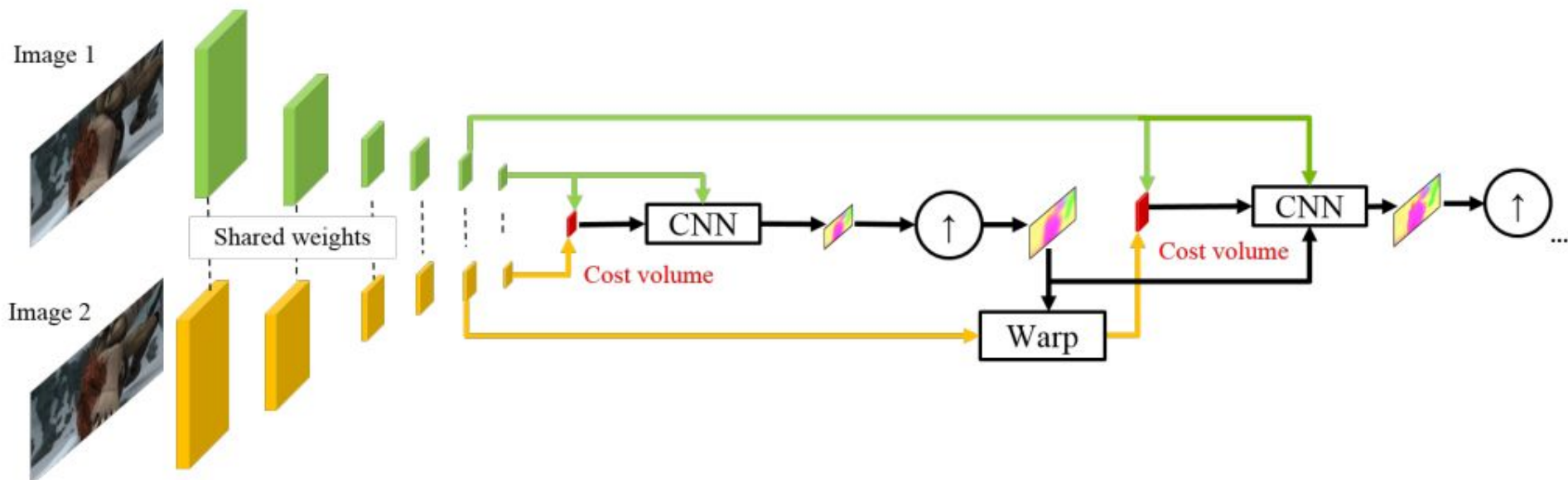


Введение

FlowNet — decoder

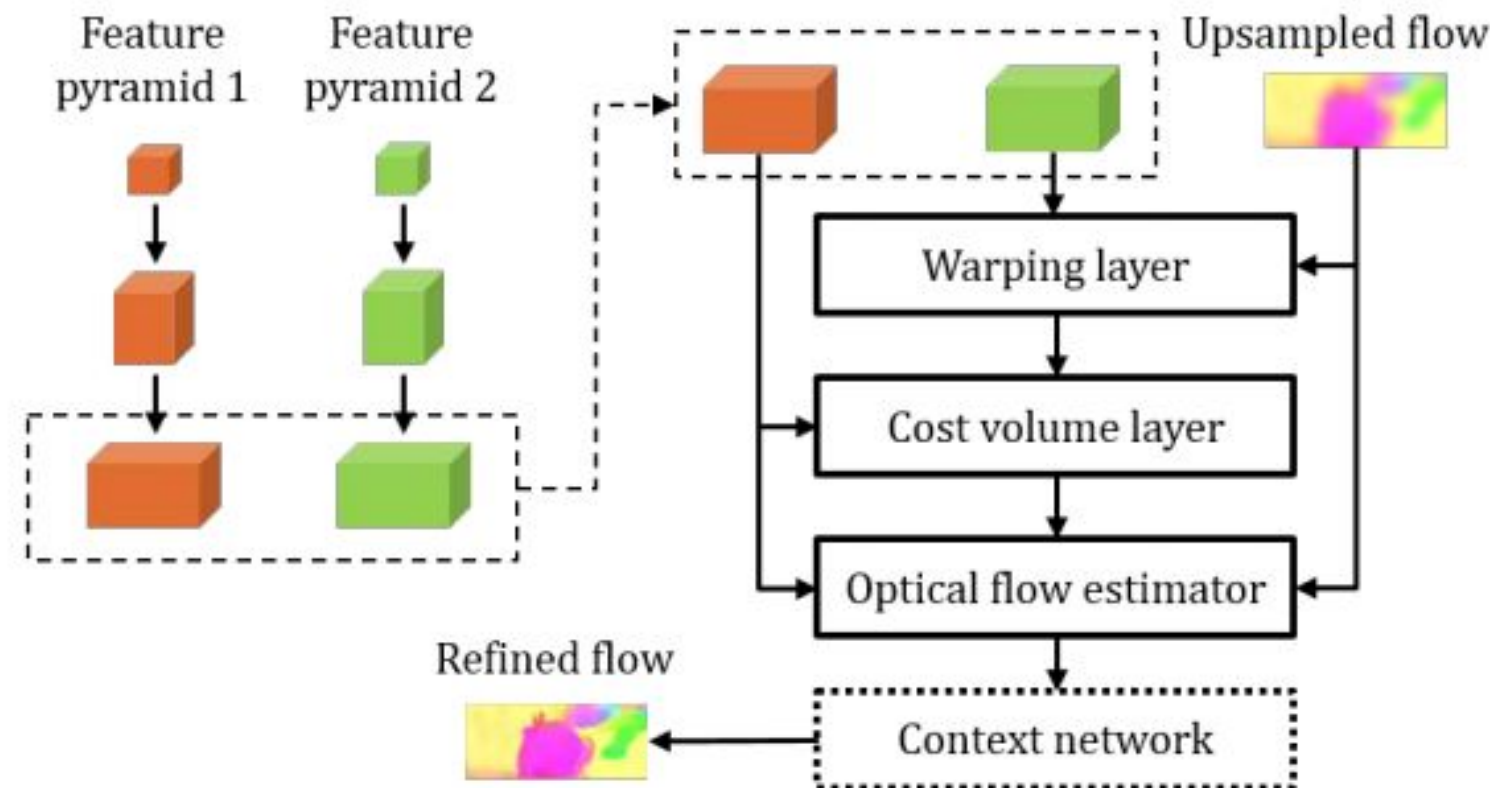


Введение PWC-Net (1)



Введение

PWC-Net (2)



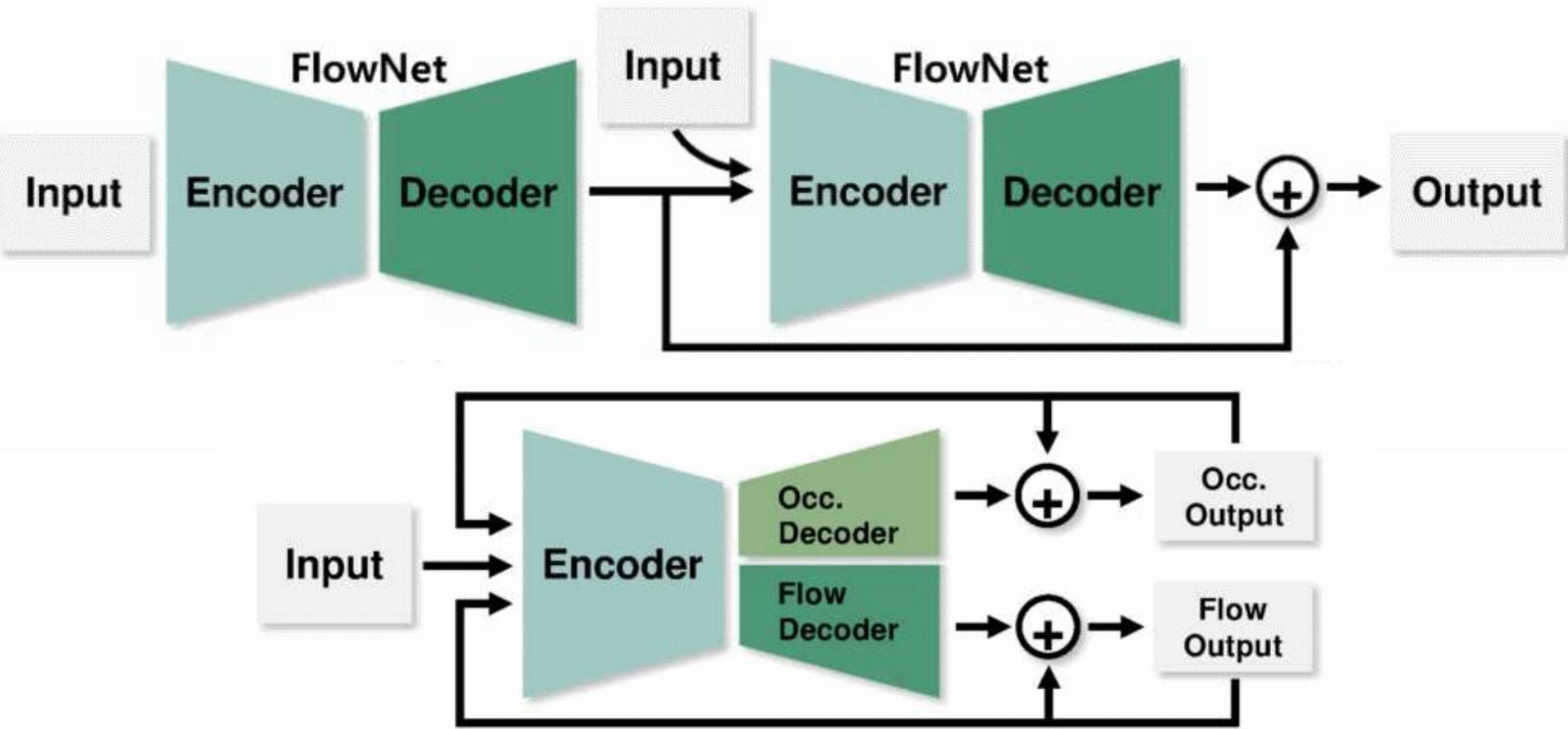
Содержание

- Введение
- Методы поиска областей открытия/закрытия
 - **IRR-PWC**
 - FlowNet-CSSR
 - ContinualFlow
- Методы поиска оптического потока
- Заключение

- Прогоняют поток через одну и ту же сеть несколько раз, в основе — зарекомендовавшие себя архитектуры
- Одновременное вычисление потока и областей открытия/закрытия
- Прямое и обратное вычисление оптического потока
- Билатеральная фильтрация
- “Super-resolution” для областей о/з

IRR-PWC

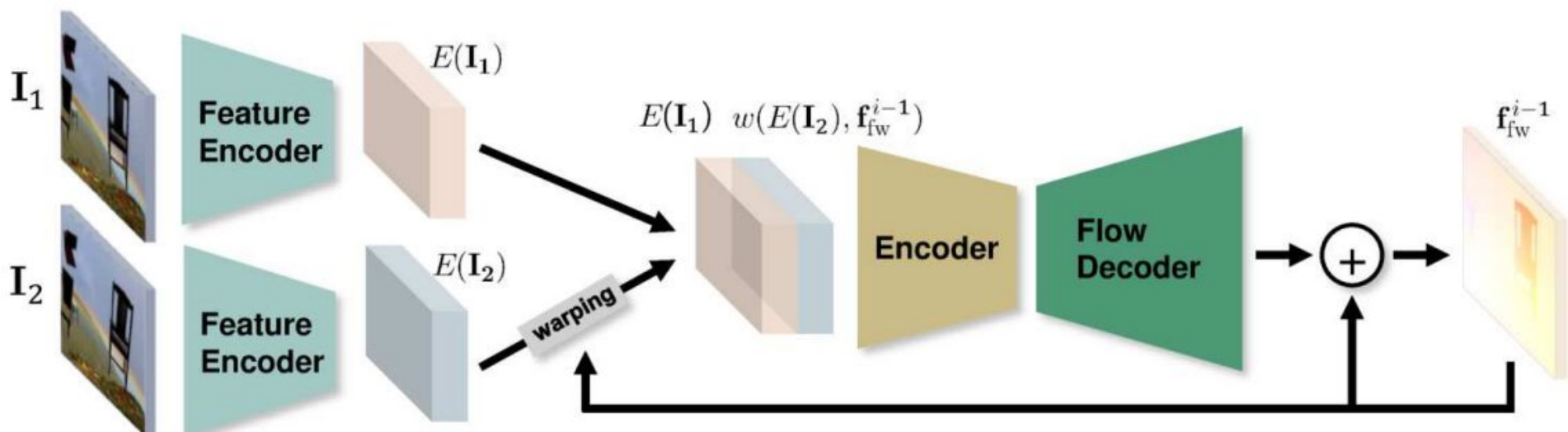
Общая архитектура



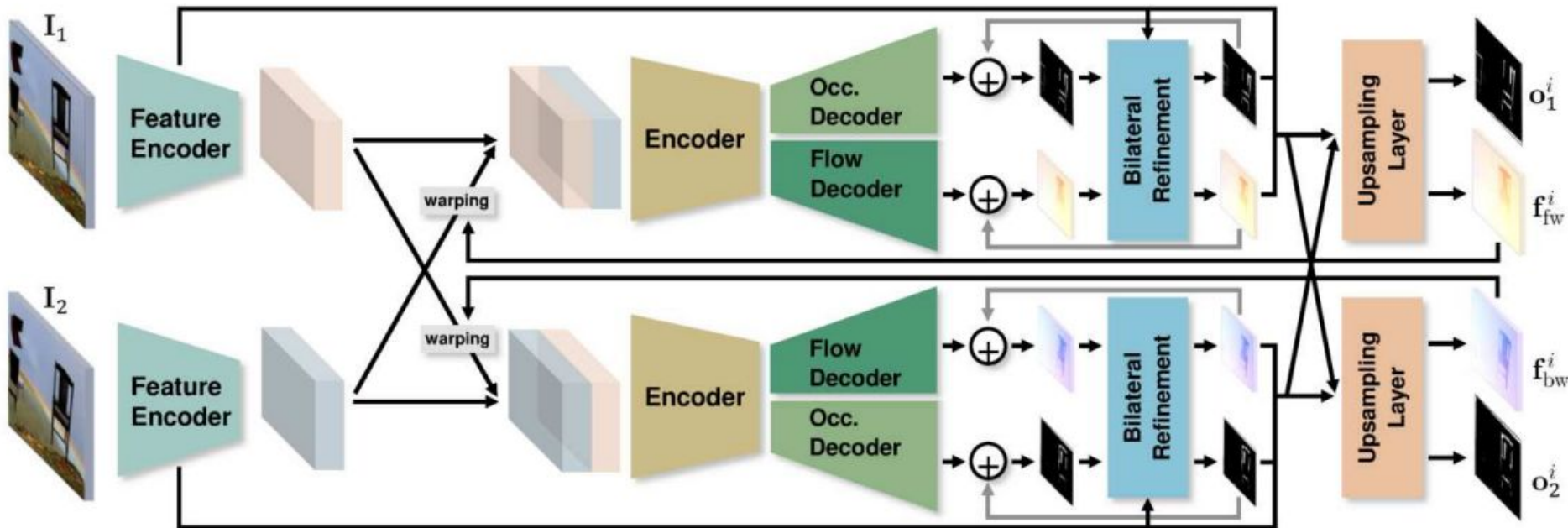
H. Junhwa and S. Roth, "Iterative residual refinement for joint optical flow and occlusion estimation," in CVPR, 2019

IRR-PWC

Применение IRR к FlowNetS



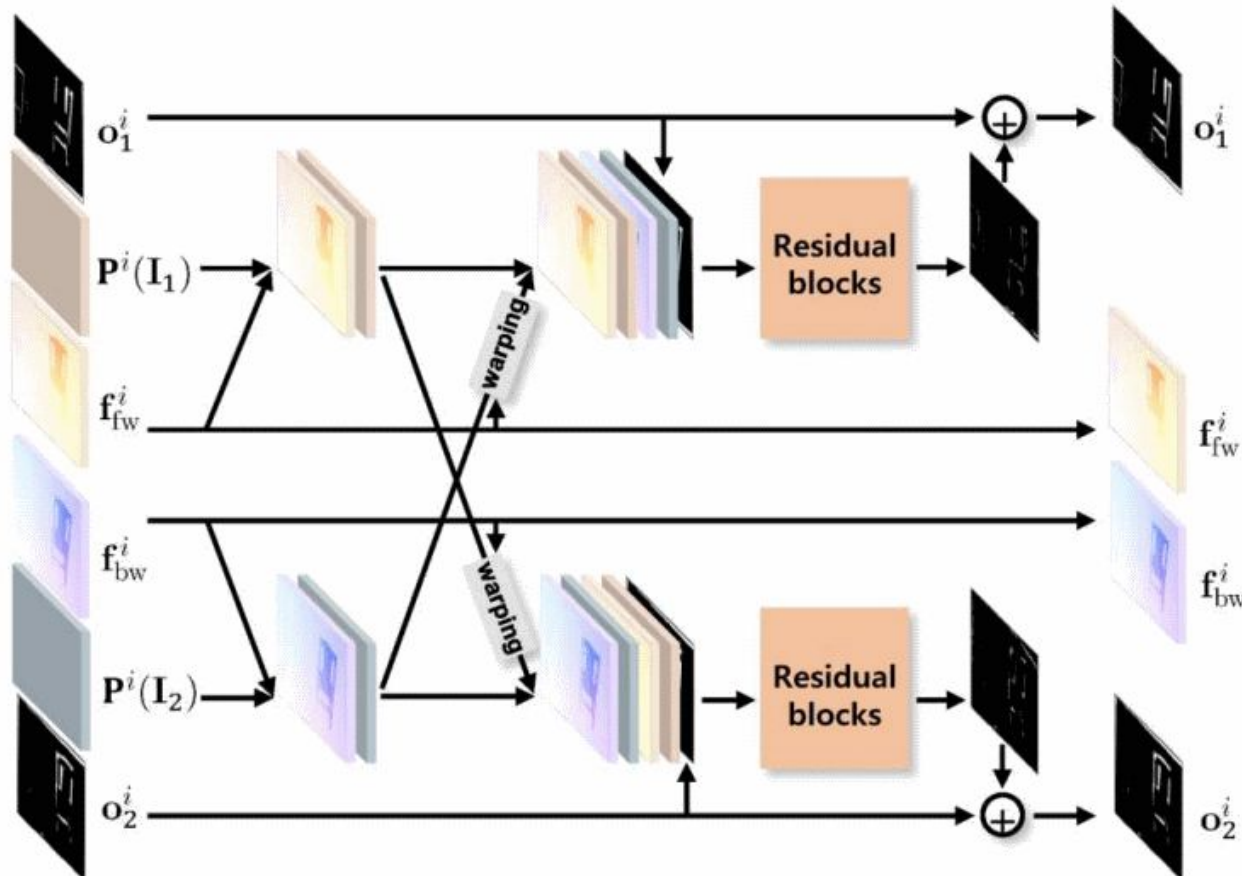
H. Junhua and S. Roth, "Iterative residual refinement for joint optical flow and occlusion estimation," in CVPR, 2019



H. Junhwa and S. Roth, "Iterative residual refinement for joint optical flow and occlusion estimation," in CVPR, 2019

IRR-PWC

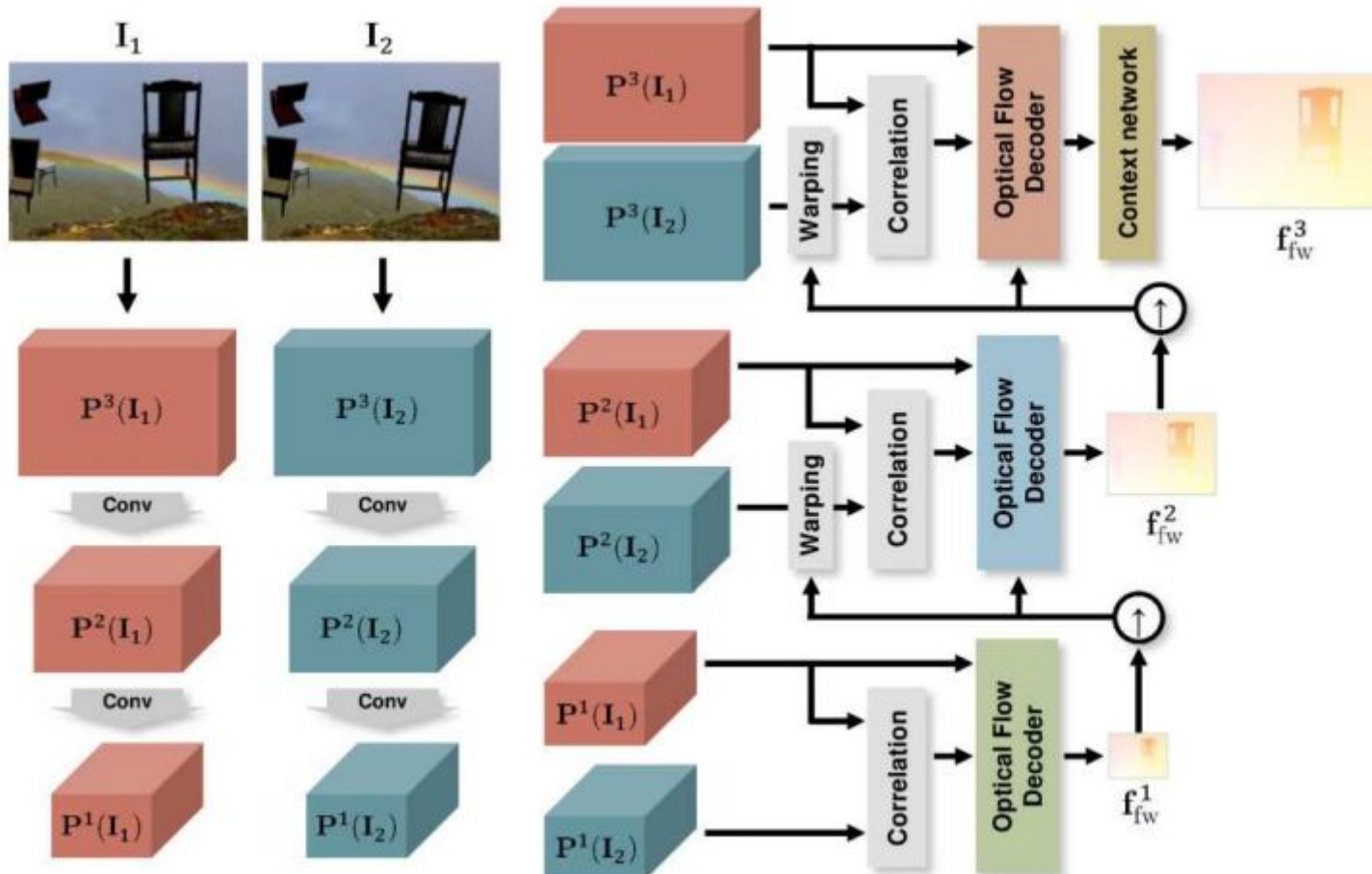
Увеличение разрешения областей о/з



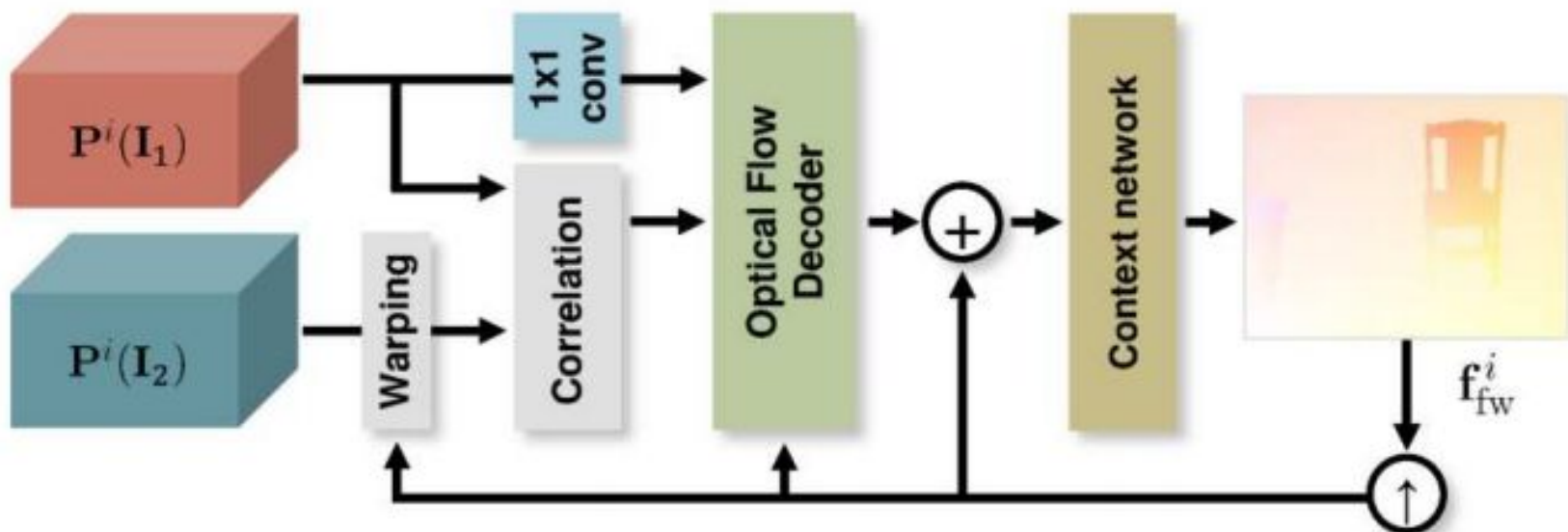
H. Junhwa and S. Roth, "Iterative residual refinement for joint optical flow and occlusion estimation," in CVPR, 2019

IRR-PWC

Применение к PWC-Net (1)



H. Junhwa and S. Roth, "Iterative residual refinement for joint optical flow and occlusion estimation," in CVPR, 2019



H. Junhwa and S. Roth, "Iterative residual refinement for joint optical flow and occlusion estimation," in CVPR, 2019

Функция ошибки (1)

Для каждой итерации обработки i :

$$l_{\text{flow}}^i = \frac{1}{2} \sum (\|\mathbf{f}_{\text{fw}}^i - \mathbf{f}_{\text{fw,GT}}\|_2 + \|\mathbf{f}_{\text{bw}}^i - \mathbf{f}_{\text{bw,GT}}\|_2)$$

Взвешенная бинарная кросс-энтропия:

Области о/з
в прямом и обратном
направлении

$$l_{\text{occ}}^i = -\frac{1}{2} \sum (w_1^i o_1^i \log o_{1,\text{GT}} + \bar{w}_1^i (1-o_1^i) \log(1-o_{1,\text{GT}}) + w_2^i o_2^i \log o_{2,\text{GT}} + \bar{w}_2^i (1-o_2^i) \log(1-o_{2,\text{GT}}))$$

Нормализация
по размеру кадра
и площади
областей

$$w_1^i = \frac{H \cdot W}{\sum o_1^i + \sum o_{1,\text{GT}}}$$

$$\bar{w}_1^i = \frac{H \cdot W}{\sum (1-o_1^i) + \sum (1-o_{1,\text{GT}})}$$

H. Junhwa and S. Roth, "Iterative residual refinement for joint optical flow and occlusion estimation," in CVPR, 2019

IRR-PWC

Функция ошибки (2)

-

$$l_{\text{FlowNet}} = \frac{1}{N} \sum_{i=1}^N \sum_{s=s_0}^S \alpha_s (l_{\text{flow}}^{i,s} + \lambda \cdot l_{\text{occ}}^{i,s})$$

$$l_{\text{PWC-Net}} = \frac{1}{N} \sum_{i=1}^N \alpha_i (l_{\text{flow}}^i + \lambda \cdot l_{\text{occ}}^i)$$

S — количество upsampling-слоев FlowNetS

α_s — коэффициенты для потока в refinement-модуле

λ — коэффициент, выравнивающий вклад потока и областей о/з на каждой итерации

1. FlyingChairsOcc: прямой и обратный поток, области открытия/закрытия, 600 000 итераций (S_{short} из FlowNet 2.0)
2. Дообучение на FlyingThings3D
3. Дообучение на Sintel или KITTI с улучшенным протоколом PWC-Net+

Исследование предложенных улучшений

	Bi	Occ	IRR	Chairs Full	ChairsOcc Validation	Sintel Clean Training	Sintel Final Training	Rel. Param.
FlowNet [4]				2.39	2.27	4.35	5.44	0 %
	✓			2.43	2.30	4.40	5.53	0 %
		✓		2.29	2.18 (0.690)	4.26 (0.521)	5.51 (0.493)	+38.5%
			✓	2.36	2.22	3.77	5.00	0 %
	✓	✓		2.31	2.20 (0.691)	4.21 (0.515)	5.46 (0.488)	+38.5%
	✓		✓	2.14	2.00	3.45	4.96	0 %
		✓	✓	2.22	2.10 (0.689)	3.56 (0.507)	5.03 (0.486)	+38.5%
	✓	✓	✓	2.05	1.91 (0.699)	3.40 (0.528)	5.08 (0.502)	+38.5%
PWC-Net [52]	✓	✓	✓+	1.92	1.77 (0.736)	3.32 (0.596)	4.92 (0.560)	+40.7%
				2.03	1.89	3.13	4.41	0 %
	✓			2.06	1.87	2.98	4.14	0 %
		✓		1.94	1.79 (0.706)	3.16 (0.616)	4.35 (0.581)	+87.4%
			✓	2.01	1.83	2.79	4.10	-61.2%
	✓	✓		1.99	1.82 (0.696)	3.01 (0.618)	4.39 (0.581)	+87.4%
	✓		✓	2.08	1.90	2.80	4.13	-61.2%
	✓	✓	✓	1.91	1.73 (0.700)	2.64 (0.630)	4.09 (0.593)	-34.7%
	✓	✓	✓	1.98	1.81 (0.698)	2.69 (0.633)	4.03 (0.598)	-34.7%
	✓	✓	✓+	1.67	1.48 (0.757)	2.34 (0.677)	3.95 (0.624)	-26.4%

H. Junhwa and S. Roth, “Iterative residual refinement for joint optical flow and occlusion estimation,” in CVPR, 2019

IRR-PWC

MPI-Sintel (оптический поток)



Method	Training		Test		Parameters
	Clean	Final	Clean	Final	
ContinualFlow_ROB ^{†§} [42]	–	–	3.34	4.53	14.6 M
MFF [§] [46]	–	–	3.42	4.57	N/A
IRR-PWC (Ours)	(1.92)	(2.51)	3.84	4.58	6.36M
PWC-Net+ [†] [53]	(1.71)	(2.34)	3.45	4.60	8.75M
ProFlow [§] [37]	–	–	2.82	5.02	–
PWC-Net-ft-final [53]	(2.02)	(2.08)	4.39	5.04	8.75M
DCFlow [61]	–	–	3.54	5.12	–
FlowFieldsCNN [6]	–	–	3.78	5.36	5.00M
MR-Flow [59]	1.83	3.59	2.53	5.38	–
LiteFlowNet [24]	(1.35)	(1.78)	4.54	5.38	5.37M
S2F-IF [62]	–	–	3.50	5.42	–
SfM-PM [38]	–	–	2.91	5.47	–
FlowFields++ [49]	–	–	2.94	5.49	–
FlowNet2 [26]	(2.02)	(3.14)	3.96	6.02	162.5 M

H. Junhua and S. Roth, “Iterative residual refinement for joint optical flow and occlusion estimation,” in CVPR, 2019

Method	Type	Sintel Training	
		Clean	Final
IRR-PWC (Ours)	supervised	0.712	0.669
FlowNet-CSSR [27]	supervised	0.703	0.654
OccAwareFlow [58]	unsupervised	0.54	0.48
Back2FutureFlow [30]	unsupervised	0.49	0.44
MirrorFlow [25]	estimated	0.390	–

Достоинства:

- Один из лучших по качеству оптического потока
- Лучший по качеству областей открытия/закрытия
- Размер сети небольшой из-за переиспользования модулей
- Выложены скрипты обучения и веса обученных моделей

Недостаток:

- В 6 раз медленнее PWC-Net (5.5 fps vs 33.3 fps)

Содержание

- Введение
- Методы поиска областей открытия/закрытия
 - IRR-PWC
 - **FlowNet-CSSR**
 - ContinualFlow
- Методы поиска оптического потока
- Заключение

FlowNet-CSSR

Суть метода

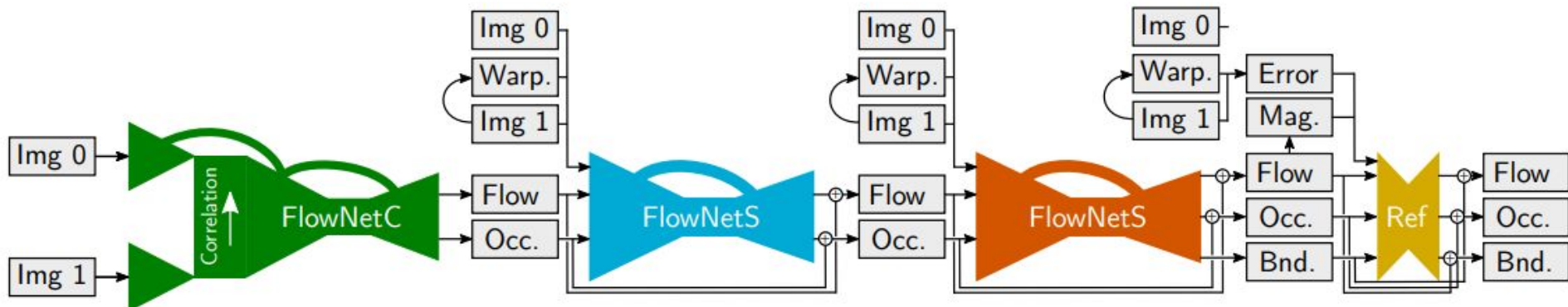
Построение сети аналогично FlowNet 2.0

Вычисляют:

- Оптический поток
- Области о/з
- Диспаритет
- Границы объектов по движению и глубине

FlowNet-CSSR

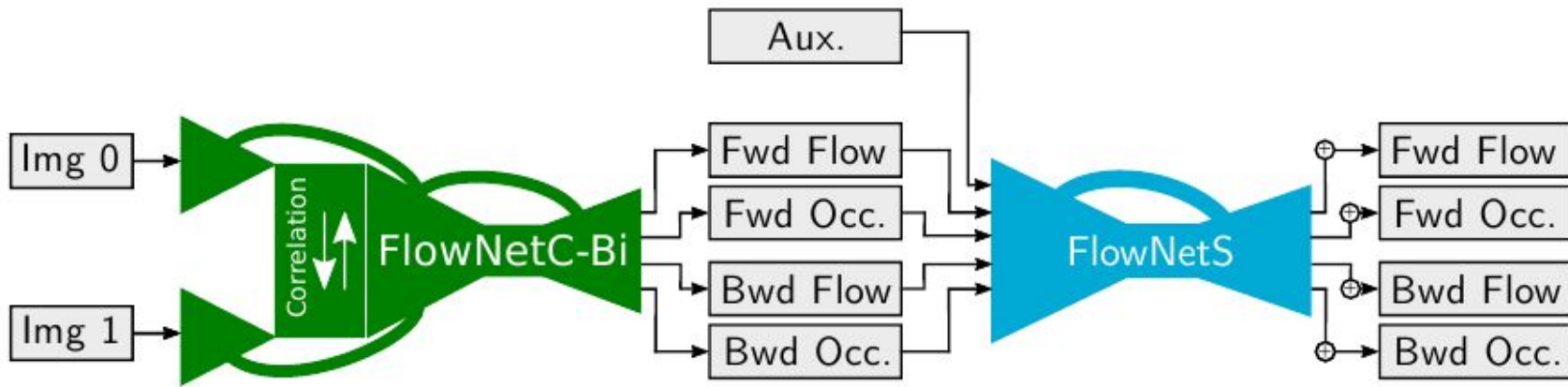
Архитектура (1)



(a). Основная архитектура

FlowNet-CSSR

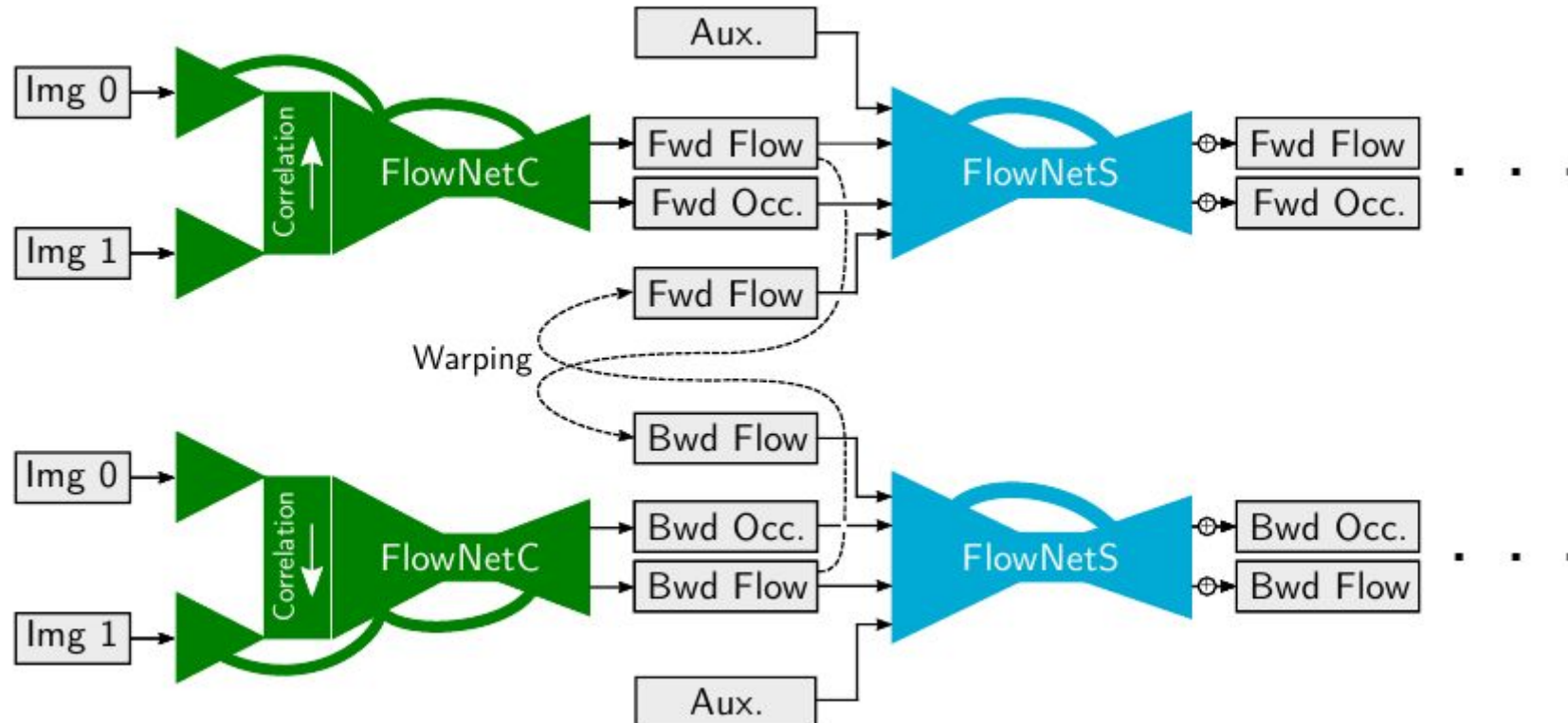
Архитектура (2)



(b). Прямое и обратное вычисление оптического потока
и областей открытия/закрытия

FlowNet-CSSR

Архитектура (3)

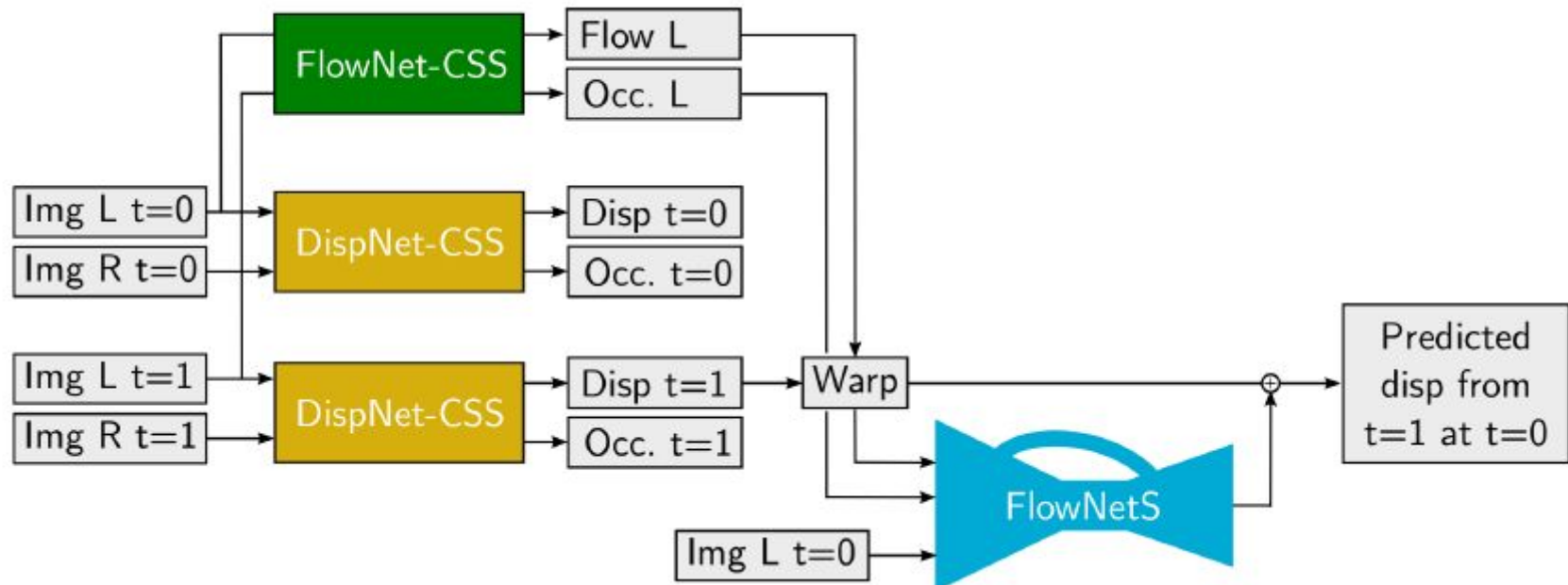


(c). Еще один вариант с прямым и обратным вычислением

E. Ilg et al., "Occlusions, motion and depth boundaries with a generic network for disparity, optical flow or scene flow estimation," in *ECCV*, 2018

FlowNet-CSS

Архитектура (4)



(d). Использование диспаритета

FlowNet-CSSR

Обучение

Для каждой сети в стеке:

1. FlyingChairs — 600 000 итераций
2. FlyingThings3D — 250 000 итераций
3. FlyingChairsSDHom — (опционально) 250 000 итераций

Функция ошибки:

- Оптический поток — EPE
- Области о/з, границы движения — бинарная кросс-энтропия

FlowNet-CSSR

Исследование разных конфигураций метода

Configuration	EPE	F-measure
FlowNetC estimating flow	3.21	-
FlowNetC estimating occlusions	-	0.546
FlowNetC estimating flow + occlusions	3.20	0.539
FlowNetC-Bi estimating fwd/bwd flow and fwd occlusions	3.26	0.542

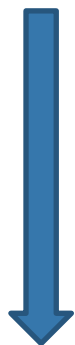
Configuration	EPE	F-measure
Only flow as in FlowNet2-CS [18]	2.28	-
+ occlusions (Figure 1(a))	2.25	0.590
+ bwd direction (Figure 1(b))	2.77	0.572
+ mutual warping (Figure 1(c))	2.25	0.589



E. Ilg et al., "Occlusions, motion and depth boundaries with a generic network for disparity, optical flow or scene flow estimation," in *ECCV*, 2018

FlowNet-CSSR

Сравнение методов: области о/з



Method	Type	F-Measure	
		clean	final
FlowNet2 [18]	consistency	0.377	0.348
MirrorFlow [17]	estimated	0.390	0.348
S2DFlow [27]	estimated	0.470	0.403
Ours	estimated	0.703	0.654

FlowNet-CSSR

Сравнение методов: оптический поток

Method	Sintel		Sintel		KITTI		KITTI		Runtime (s)	
	(clean)		(final)		(2012)		(2015)			
	AEE <i>train test</i>		AEE <i>train test</i>		<i>AEE train</i>		<i>OUT-noc AEE F1-all test</i>			
Standard										
EpicFlow [35]	2.27	4.12	3.56	6.29	3.09	7.88%	9.27	26.29%	42	
FlowfieldsCNN [2]	-	3.78	-	5.36	-	4.89%	-	18.68%	23	
DCFlow [50]	-	3.54	-	5.12	-	-	-	14.86%	9	
CNN based										
FlowNet2 [18]	2.02	3.96	3.14	6.02	4.09	-	10.06	-	0.123	
FlowNet2-ft [18]	(1.45)	4.16	(2.01)	5.74	(1.28)	-	(2.30)	11.48%	0.123	
SpyNet [34]	4.12	6.69	5.57	8.43	9.12	-	-	-	0.016	
SpyNet-ft [34]	(3.17)	6.64	(4.32)	8.36	(4.13)	12.31%	-	35.07%	0.016	
PWC-Net [42]	2.55	-	3.93	-	4.14	-	10.35	33.67%	0.030	
PWC-Net-ft [42]	(2.02)	4.39	(2.08)	5.04	-	4.22%	(2.16)	9.80%	0.030	
With joint occ est.										
MirrorFlow [17]	-	3.32	-	6.07	-	4.38%	-	10.29%	660	
S2D flow [27]	-	18.48	-	6.82	-	-	-	-	2280	
Our FlowNet-CSS	2.08	3.94	3.61	6.03	3.69	-	9.33	-	0.068	
Our FlowNet-CSS-ft	(1.47)	4.35	(2.12)	5.67	(1.19)	3.45%	(1.79)	8.60%	0.068	
Our FlowNet-css	2.65	-	4.05	-	5.05	-	11.74	-	0.033	

Occlusions, Motion and Depth Boundaries with a Generic Network for Disparity, Optical Flow or Scene Flow Estimation

Eddy Ilg*, Tonmoy Saikia*, Margret Keuper and
Thomas Brox

* equal contribution

Достоинства:

- Универсальное решение многих задач
- Лучший результат по областям о/з на момент публикации (Sintel)
- Лучший результат по диспаритету (KITTI)
- Хорошая скорость: 14.7 fps

Недостаток:

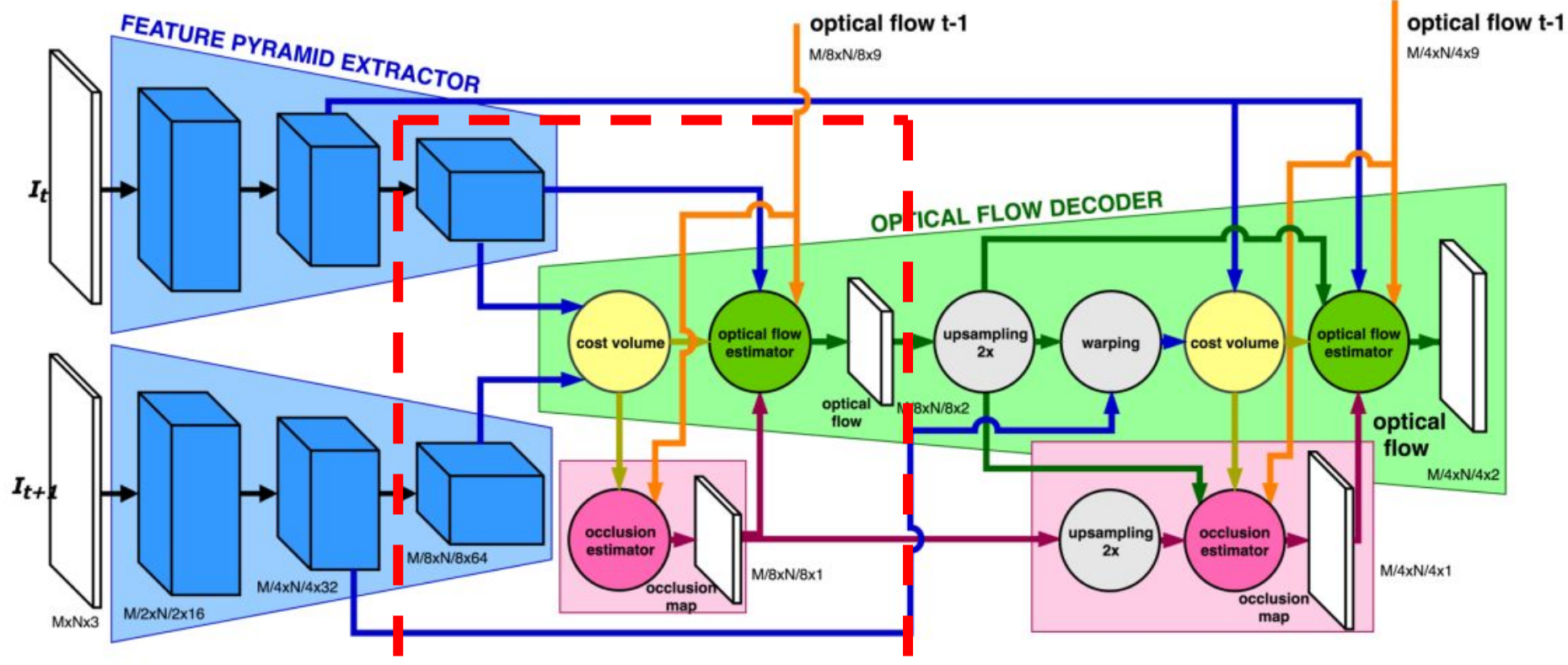
- Не выложены скрипты для обучения моделей

Содержание

- Введение
- Методы поиска областей открытия/закрытия
 - IRR-PWC
 - FlowNet-CSSR
 - **ContinualFlow**
- Методы поиска оптического потока
- Заключение

ContinualFlow

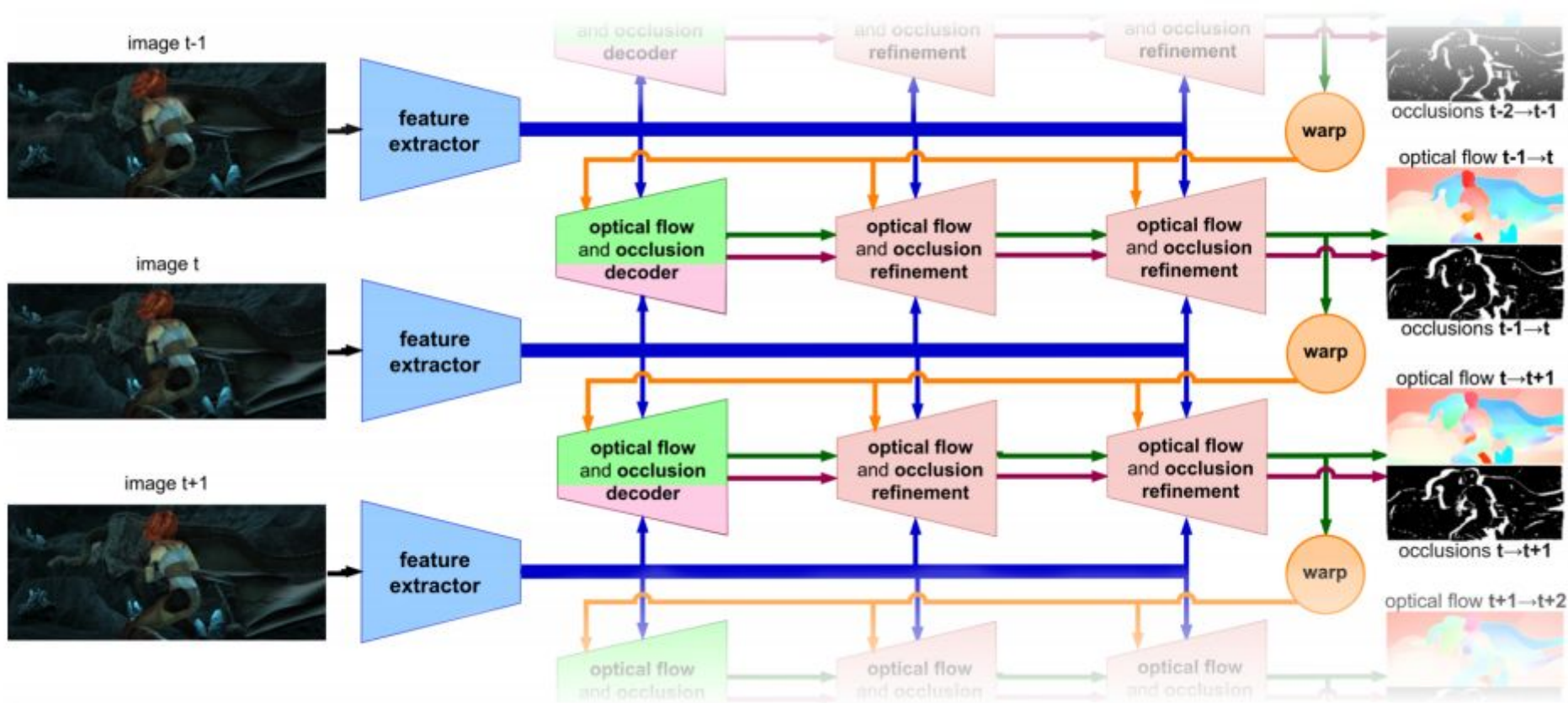
PWC-Net + области открытия/закрытия



Один уровень пирамиды

ContinualFlow

Использование временного домена (1)



Использование временного домена (2)

- Недифференцируемое прямое преобразование потока

$$\hat{F}_{t-1}(\mathbf{x} + \text{round}(F_{t-1}(\mathbf{x}))) = F_{t-1}(\mathbf{x})$$

- Дифференцируемое обратное преобразование
(требуется дополнительно вычислить обратный поток)

ContinualFlow



Сравнение различных конфигураций

	all	FlyingThings				KITTI'15 noc		KITTI'15 occ		Sintel Clean			Sintel Final		
	occ-bg	occ-fg	noc-bg	noc-fg	Fl-all	all	Fl-all	all	all	occ	noc	all	occ	noc	
common: baseline															
+OC	22.79	25.31	53.88	10.64	26.78	37.73	7.82	43.56	14.16	3.45	9.29	2.38	5.36	12.03	4.17
	18.01	18.27	47.53	7.10	20.13	23.98	5.22	31.12	10.60	2.45	7.46	1.53	4.02	9.99	2.91
common: baseline+OC															
+R	18.01	18.27	47.53	7.10	20.13	23.98	5.22	31.12	10.60	2.45	7.46	1.53	4.02	9.99	2.91
	17.80	17.49	45.90	7.31	21.46	21.14	4.78	28.61	9.83	2.30	7.11	1.42	3.87	9.68	2.76
common: baseline+OC+W _{bf}															
+1xRW _{bf}	14.28	14.24	35.58	5.82	17.56	21.72	4.41	29.48	9.33	2.26	6.71	1.47	3.76	8.93	2.80
+2xRW _{bf}	14.26	14.13	35.60	5.78	17.62	21.77	4.45	29.62	9.35	2.26	6.72	1.47	3.76	8.96	2.79
+3xRW _{bf}	14.30	14.13	35.71	5.75	17.77	21.98	4.50	29.86	9.40	2.26	6.74	1.47	3.77	8.99	2.80
+5xRW _{bf}	14.43	14.24	36.16	5.75	17.93	22.48	4.58	30.35	9.49	2.28	6.80	1.48	3.80	9.03	2.83
common: baseline+OC+W _{bf} +RW _{bf}															
Multi-frame sequence initialisation															
2 frames	-	-	-	-	-	25.08	5.50	32.59	11.56	2.48	7.72	1.48	3.84	9.64	2.75
2 frames+2pass	-	-	-	-	-	23.06	5.03	30.92	11.00	2.41	7.60	1.41	3.74	9.48	2.66
3 frames	-	-	-	-	-	21.72	4.41	29.48	9.33	2.26	6.71	1.47	3.76	8.93	2.80
3 frames+2pass	-	-	-	-	-	21.65	4.36	29.42	9.23	2.26	6.71	1.48	3.73	8.92	2.76
4 frames	-	-	-	-	-	21.53	4.30	29.32	9.05	2.23	6.59	1.46	3.75	8.83	2.82
4 frames+2pass	-	-	-	-	-	21.54	4.30	29.33	9.02	2.24	6.59	1.46	3.73	8.80	2.80
5 frames	-	-	-	-	-	21.48	4.25	29.27	8.92	2.21	6.51	1.45	3.80	8.85	2.87
5 frames+2pass	-	-	-	-	-	21.48	4.25	29.28	8.92	2.21	6.52	1.46	3.79	8.83	2.86

ContinualFlow

Функция ошибки: оптический поток

-

$$\mathcal{L}_F^s = \sum_{\mathbf{x}} \gamma(\mathbf{x}) \| F^s(\mathbf{x}) - F_{gt}^s(\mathbf{x}) \|_2$$

$\gamma(x)$ — маска существования GT для потока

Используется взвешенная бинарная кросс-энтропия:

$$\mathcal{L}_O^s = -w_{noc} \sum_{\mathbf{x}: O_{gt}(\mathbf{x})=1} \rho(\mathbf{x}) \log \Pr(O(\mathbf{x}) = 1 | X) \\ - w_{occ} \sum_{\mathbf{x}: O_{gt}(\mathbf{x})=0} \rho(\mathbf{x}) \log \Pr(O(\mathbf{x}) = 0 | X)$$

w_{noc}, w_{occ} — доли пикселей, не принадлежащих и принадлежащих области открытия/закрытия
 $\rho(x)$ — маска существования GT

ContinualFlow

Общая функция ошибки

-

$$\mathcal{L} = \sum_{s=1}^S \alpha^s \mathcal{L}_F^s + \alpha_O \sum_{s=1}^S \alpha^s \mathcal{L}_O^s$$

S — количество уровней в PWC-Net

α^s — коэффициент для каждого уровня пирамиды

α_O — вклад областей о/з в ошибку

Предобучение на парах изображений:

1. FlyingChairs — 1 200 000 итераций
2. FlyingThings3D — 500 000 итераций

Дообучение с временными связями — 500 000 итераций:

Driving, KITTI, virtualKITTI, Sintel, HD1K,
FlyingChairsSDHom

ContinualFlow

Результаты: KITTI



F1 (%)	KITTI'15 occ (%)			KITTI'15 noc (%)		
	bg	fg	all	bg	fg	all
ContinualFlow_ROB	8.54	17.48	10.03	5.90	14.99	7.55
LFNet_ROB [anon]	11.18	10.20	11.01	6.14	6.87	6.27
PWC-Net_ROB [35]	11.22	13.69	11.63	7.12	10.29	7.69
ProFlow_ROB [23]	14.15	21.82	15.42	8.44	17.90	10.15
FF++_ROB [33]	15.32	19.27	15.97	7.82	15.33	9.18
ResPWCR_ROB [anon]	16.63	16.18	16.55	10.10	12.23	10.49
AugFNG_ROB [anon]	19.77	9.95	18.14	13.75	6.71	12.47
DMF_ROB [40]	30.74	30.07	30.63	19.32	25.60	20.46

ContinualFlow

Результаты: Sintel



	Sintel Final			Sintel Clean		
	all	noc	occ	all	noc	occ
ContinualFlow_ROB	4.528	2.723	19.248	3.341	1.752	16.292
PWC-Net_ROB [35]	4.903	2.454	24.878	3.897	1.726	21.637
ProFlow_ROB [23]	5.015	2.659	24.192	2.709	1.013	16.549
AugFNG_ROB [anon]	5.500	2.978	26.052	3.606	1.603	19.939
LFNet_ROB [anon]	5.966	3.278	27.893	4.815	2.333	25.065
FF++_ROB [33]	6.496	2.990	35.057	3.953	1.148	26.836
ResPWCR_ROB [anon]	6.530	3.849	28.371	5.674	3.138	26.380
DMF_ROB [40]	7.475	3.575	39.245	5.368	1.742	34.899

ContinualFlow

Общая таблица Sintel

	EPE all
GroundTruth [1]	0.000
SeIFlow [2]	4.262
VCN [3]	4.520
ContinualFlow_ROB [4]	4.528
MFF [5]	4.566
IRR-PWC [6]	4.579
PWC-Net+ [7]	4.596

Достоинства:

- Первый метод обучения с учителем, успешно использовавший более 2 кадров
- Один из лучших результатов по потоку на Sintel

Недостатки:

- В 5 раз дольше PWC-Net
- Невысокое качество областей открытия/закрытия

Содержание

- Введение
- Методы поиска областей открытия/закрытия
- Методы поиска оптического потока
 - MFF
 - PWC-Net+
- Заключение

- Как учитывать предыдущие кадры?
 - Простое затухание влияния предыдущих
 - Эмпирический выбор наилучшего кандидата
 - Fusion-сеть
- Можно использовать любой двухкадровый метод
- Для каждого предыдущего кадра вычисляется прямой и обратный поток, объединение потоков fusion-сетью

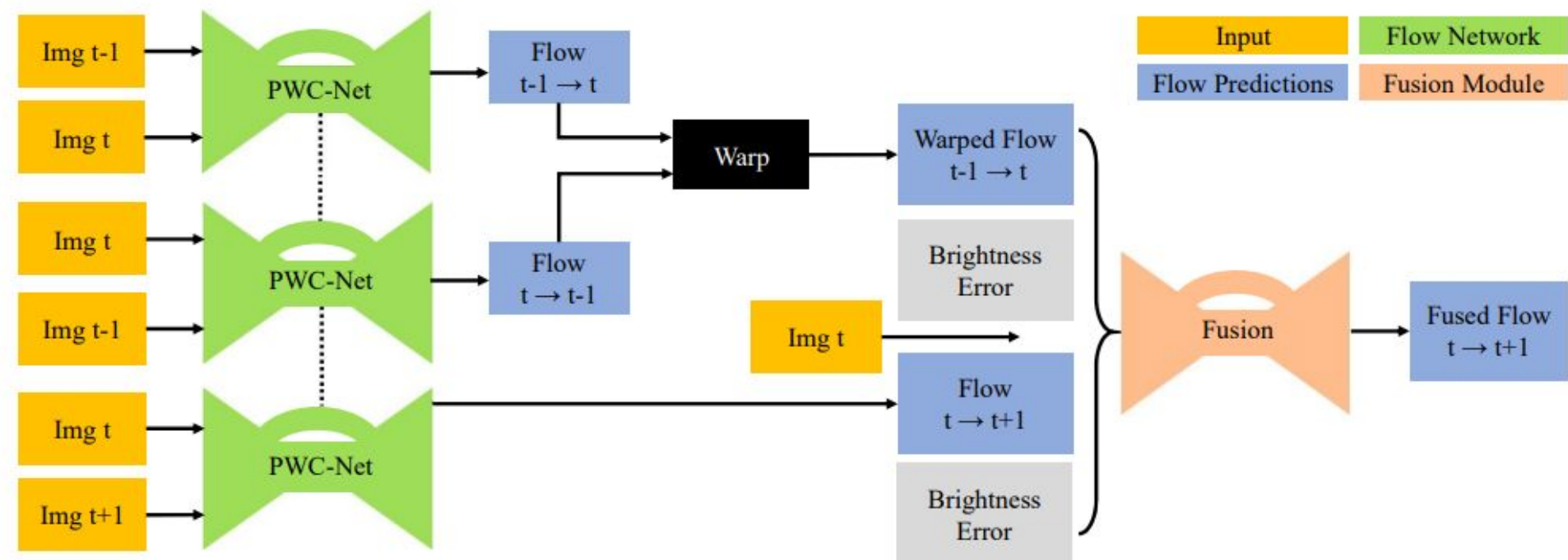
Получение кандидата на поток с помощью предыдущего кадра

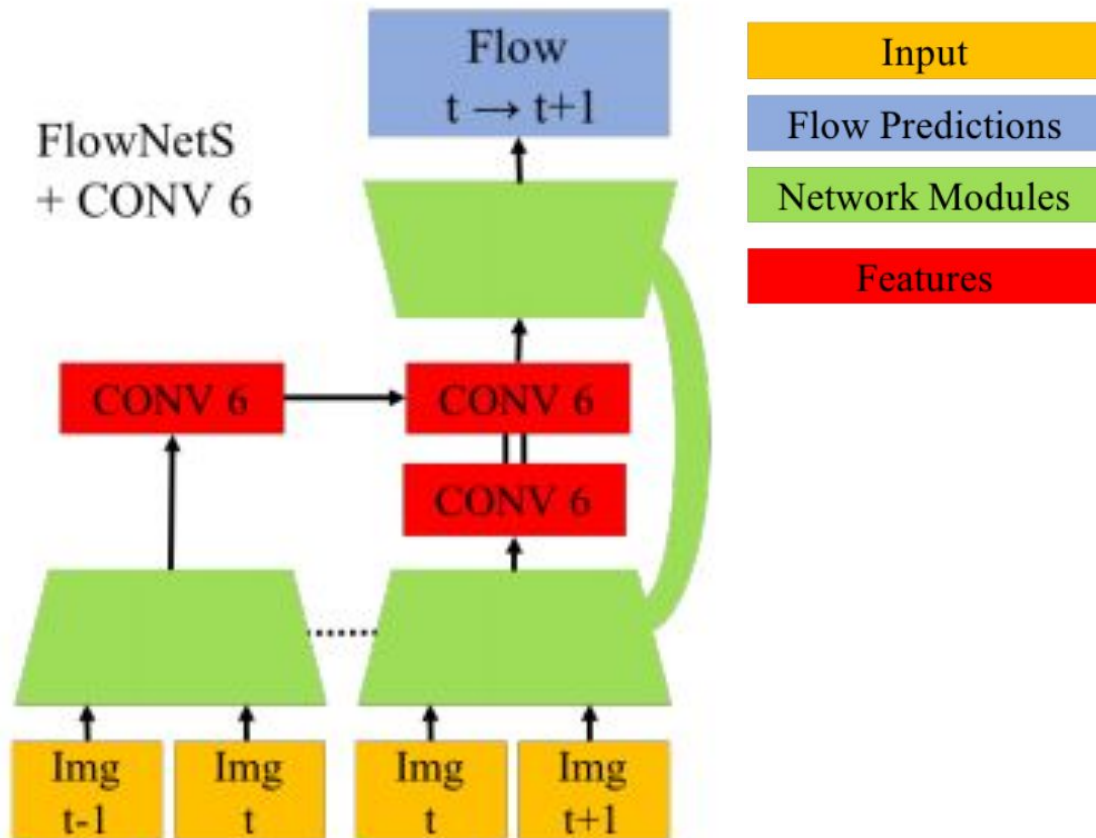
$$\hat{F}_{t \rightarrow t+1} = W^{-1}(F_{t-1 \rightarrow t}, F_{t \rightarrow t-1})$$

Oracle flow — исследование потенциального улучшения с помощью сравнения кандидатов с GT

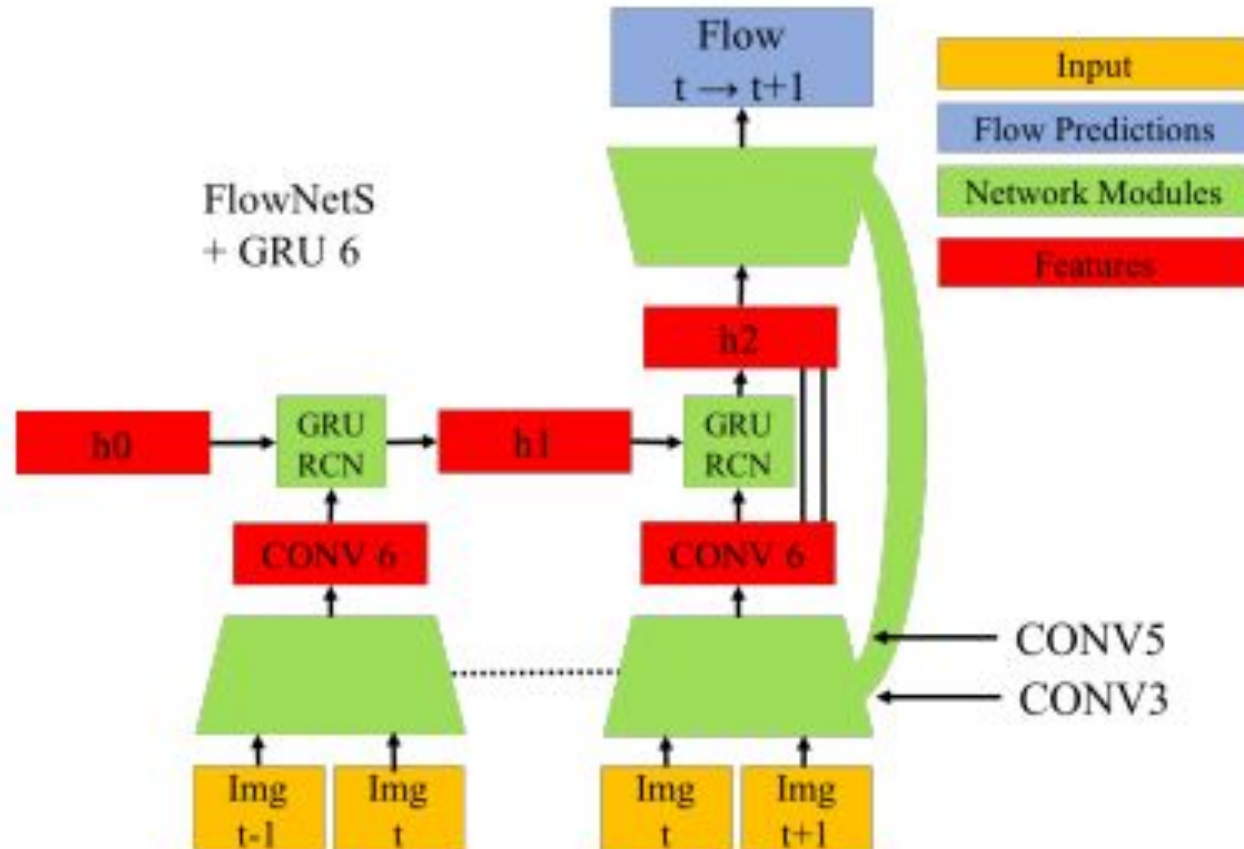
	FlowNetS	Oracle	PWC-Net	Oracle
EPE All	6.12	4.35	2.34	1.80
EPE Inside	4.03	2.62	1.60	1.20
EPE Outside	28.97	21.83	10.43	7.90
EPE Occlusion	7.44	4.63	2.41	1.82

	FlowNetS	Oracle	PWC-Net	Oracle
EPE All	2.07	1.89	1.19	1.03
EPE Inside	1.91	1.75	1.19	1.03
EPE Outside	11.47	9.79	8.00	6.90
EPE Occlusion	8.16	7.00	5.83	4.88





Baseline: GRU-RCN



Обучение:

- FlyingChairs
- FlyingThings3D

Сравнение с бейзлайном:

- virtualKITTI (2016)
- Monkaa (2016)

Сравнение с остальными алгоритмами:

- KITTI
- Sintel

-

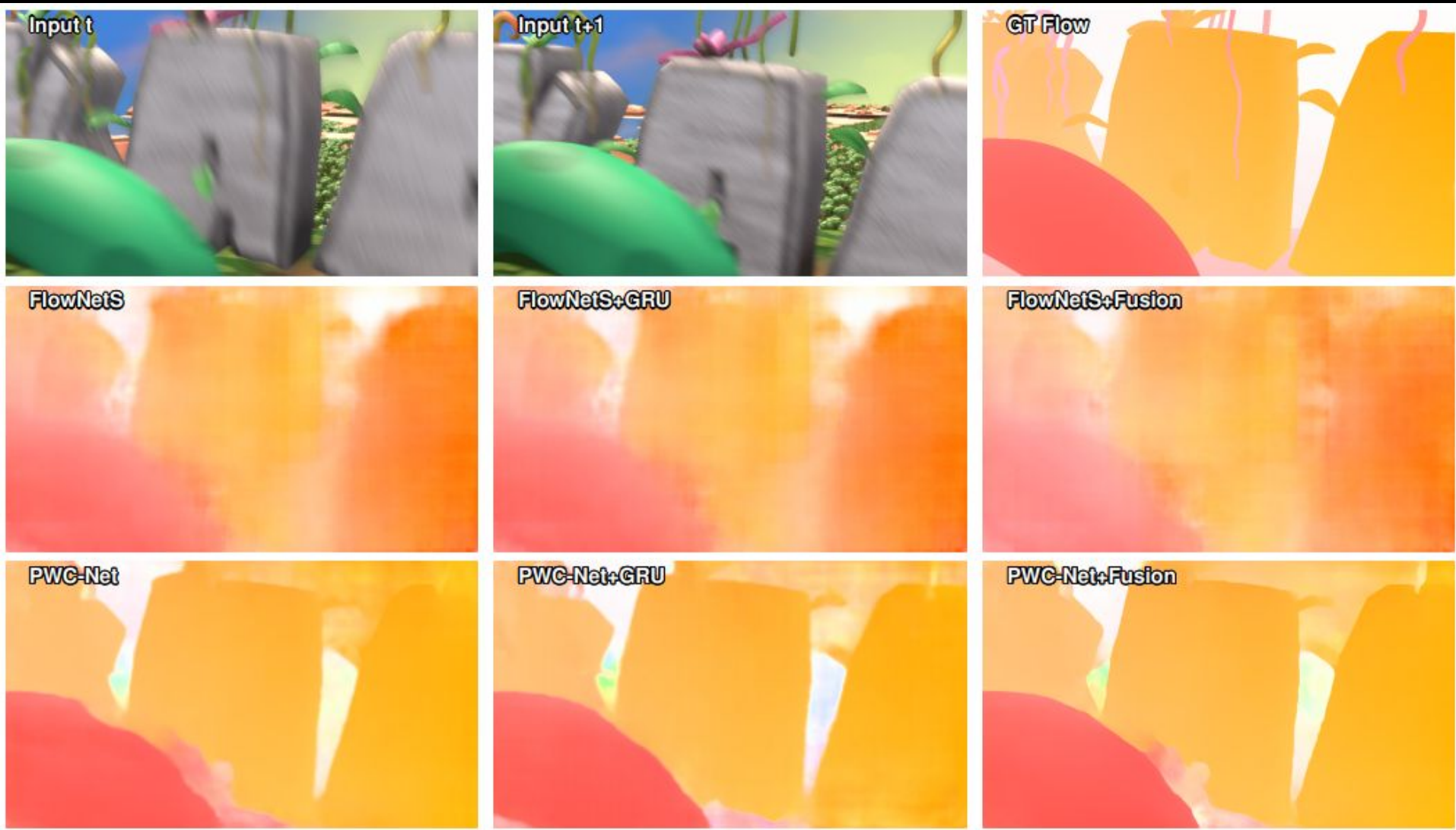
$$L(\Theta) = \sum_{l=l_0}^L \alpha_l \sum_{\mathbf{x}} (|\mathbf{w}_{\Theta}^l(\mathbf{x}) - \mathbf{w}_{GT}^l(\mathbf{x})| + \epsilon)^q + \gamma \|\Theta\|_2^2$$

коэффициент
уровня
пирамиды

устойчивая ошибка
Шарбонье

L_2 -регуляризация

q — параметр толерантности к ошибкам



Сравнение разных конфигураций (1)

	FlowNetS	FlowNetS++	GRU 3	GRU 4	GRU 5	GRU 6	Fusion	Oracle
EPE All	6.12	5.90	5.26	5.40	5.15	5.32	5.00	4.35
EPE Inside	4.03	3.87	3.61	3.64	3.58	3.59	3.14	2.62
EPE Outside	28.97	27.57	23.26	24.60	22.28	24.25	25.15	21.83
EPE Occlusion	7.44	7.11	5.93	6.27	5.82	6.18	6.14	4.63
	FlowNetS	FlowNetS++	GRU 3	GRU 4	GRU 5	GRU 6	Fusion	Oracle
EPE All	2.07	2.06	2.56	2.45	2.34	2.27	1.97	1.89
EPE Inside	1.91	1.89	2.37	2.27	2.16	2.09	1.8	1.75
EPE Outside	11.47	11.12	13.13	12.76	12.65	12.43	11.43	9.79
EPE Occlusion	8.16	8.02	9.17	9.07	8.84	8.71	7.89	7.00

Сравнение разных конфигураций (2)

	PWC-Net	GRU 3	GRU 4	GRU 5	GRU 6	Fusion	Oracle
EPE All	2.34	2.17	2.13	2.12	2.16	2.07	1.80
EPE Inside	1.60	1.44	1.41	1.40	1.42	1.37	1.20
EPE Outside	10.43	10.01	9.94	10.02	9.86	9.71	7.90
EPE Occlusion	2.41	2.29	2.24	2.24	2.26	2.27	1.82
	PWC-Net	GRU 3	GRU 4	GRU 5	GRU 6	Fusion	Oracle
EPE All	1.19	1.26	1.23	1.27	1.27	1.18	1.03
EPE Inside	1.19	1.26	1.23	1.27	1.27	1.18	1.03
EPE Outside	8.00	8.16	8.11	8.55	8.42	7.94	6.90
EPE Occlusion	5.83	5.97	5.90	5.80	5.79	5.67	4.88

Достоинства:

- Один из лучших методов по оптическому потоку
- Простая идея, общий метод
- Выложены скрипты обучения и обученные модели

Недостаток:

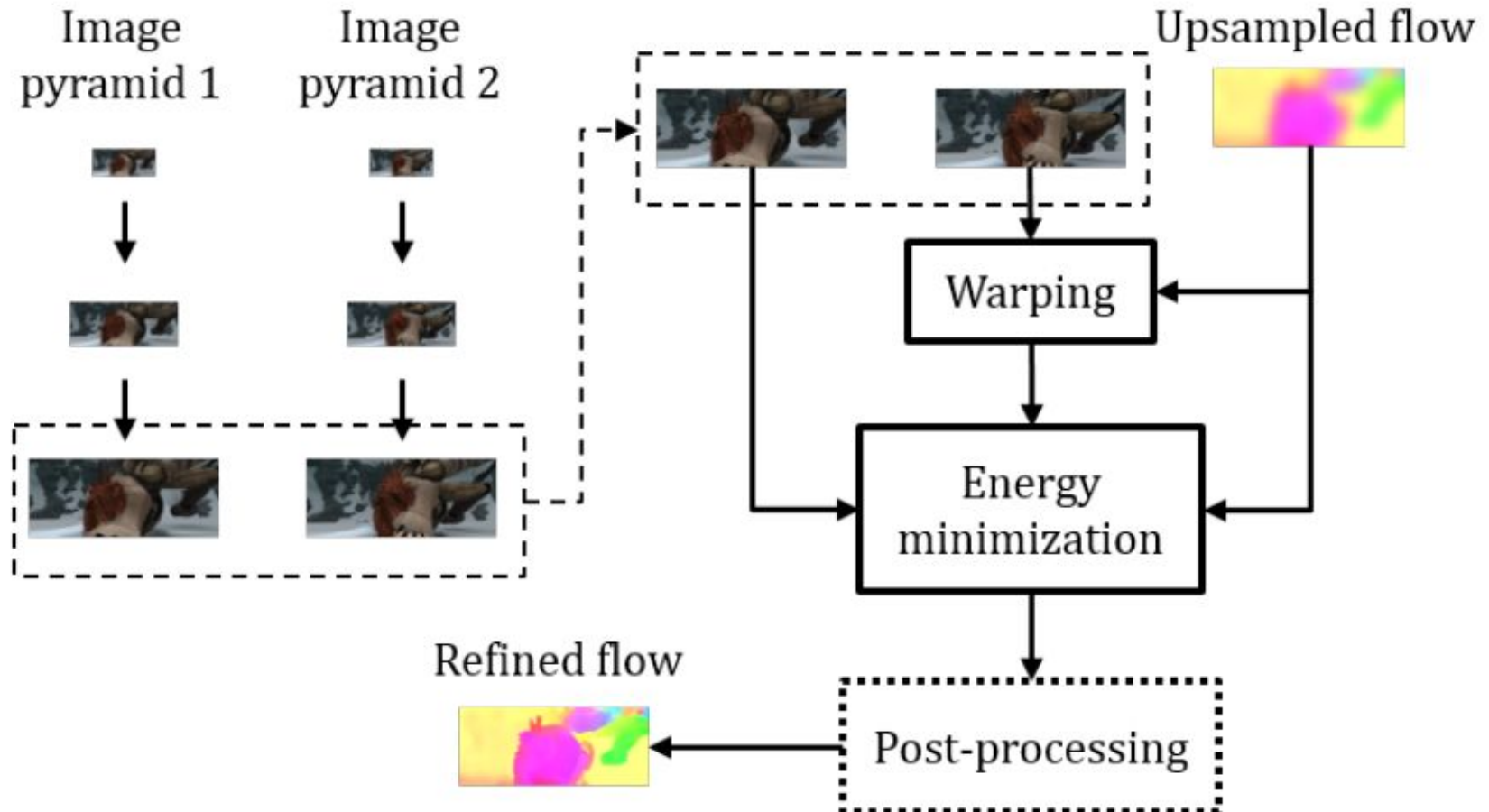
- В 2 раза медленнее по сравнению с PWC-Net

Содержание

- Введение
- Методы поиска областей открытия/закрытия
- Методы поиска оптического потока
 - MFF
 - **PWC-Net+**
- Заключение

PWC-Net+

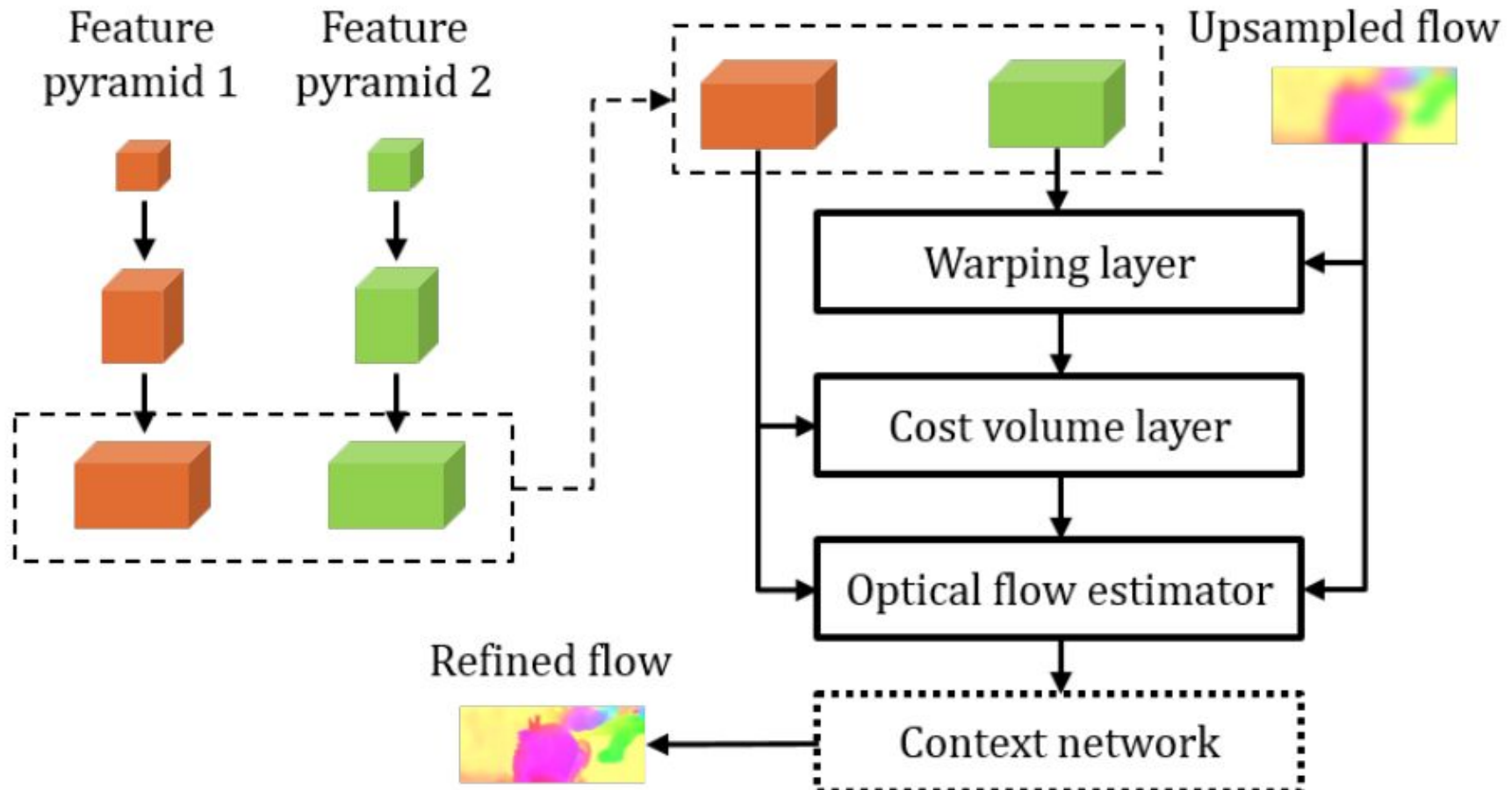
Классические методы



D. Sun et al., "Models matter, so does training: an empirical study of CNNs for optical flow estimation," in *IEEE TPAMI*, 2019

PWC-Net+

Архитектура PWC-Net



D. Sun et al., “Models matter, so does training: an empirical study of CNNs for optical flow estimation,” in *IEEE TPAMI*, 2019

Ошибка при обучении:

$$\mathcal{L}(\Theta) = \sum_{l=l_0}^L \alpha_l \sum_{\mathbf{x}} |\mathbf{w}_{\Theta}^l(\mathbf{x}) - \mathbf{w}_{\text{GT}}^l(\mathbf{x})|_2 + \gamma |\Theta|_2^2$$

Ошибка при дообучении:

$$\mathcal{L}(\Theta) = \sum_{l=l_0}^L \boxed{\alpha_l} \sum_{\mathbf{x}} \boxed{\left(|\mathbf{w}_{\Theta}^l(\mathbf{x}) - \mathbf{w}_{\text{GT}}^l(\mathbf{x})| + \epsilon \right)^q} + \boxed{\gamma |\Theta|_2^2}$$

коэффициент уровня

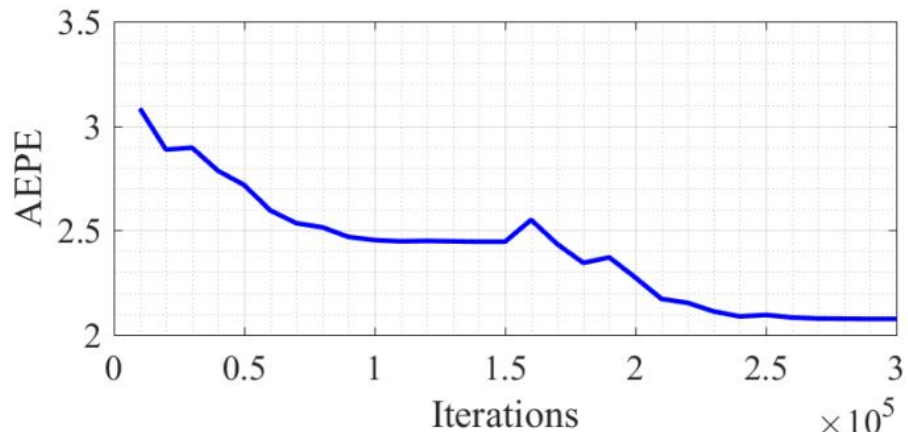
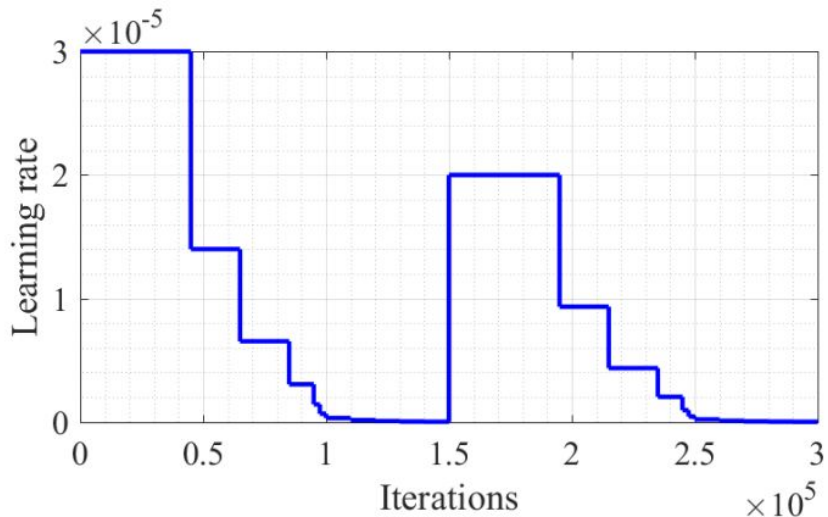
устойчивая ошибка Шарбонье

L_2 -регуляризация

D. Sun et al., "Models matter, so does training: an empirical study of CNNs for optical flow estimation," in *IEEE TPAMI*, 2019

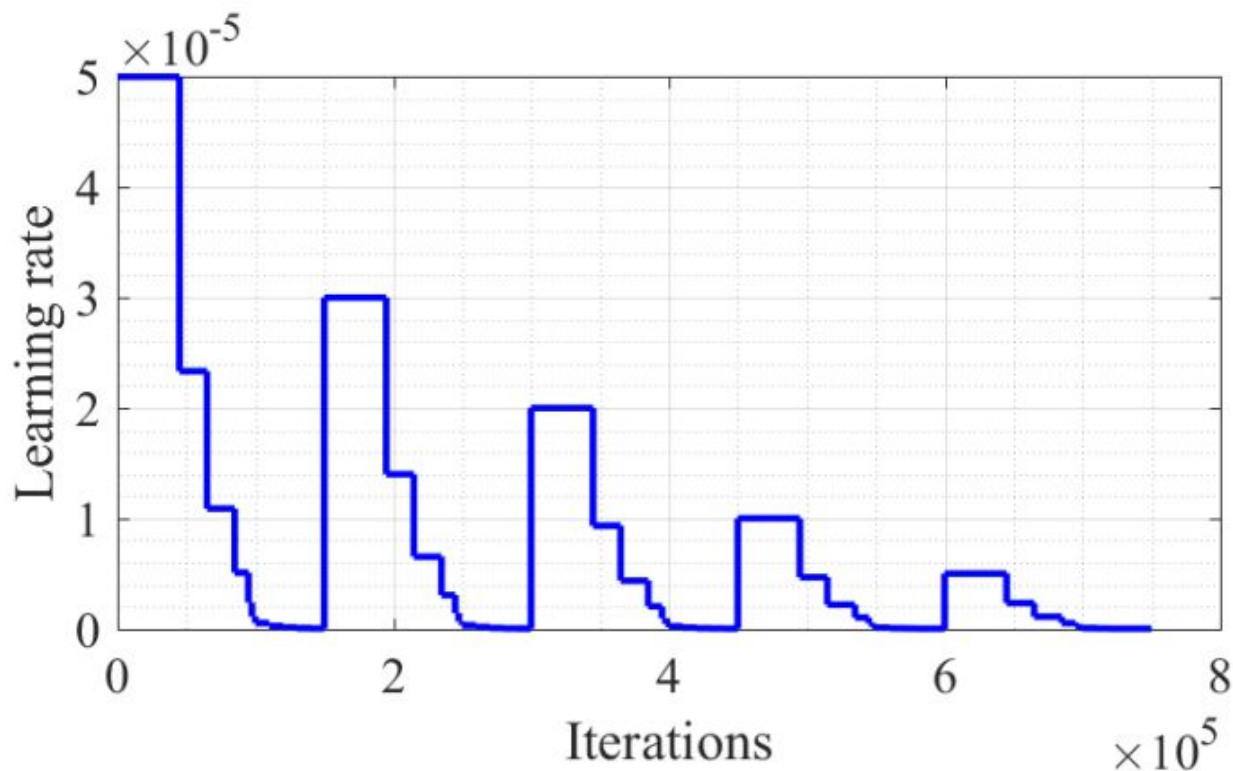
1. FlyingChairs — 1 200 000 итераций
2. FlyingThings3D — 500 000 итераций
3. Дообучение на Sintel и KITTI

Первый протокол тренировки: дообучение на Sintel Final, 300 000 итераций



D. Sun et al., “Models matter, so does training: an empirical study of CNNs for optical flow estimation,” in *IEEE TPAMI*, 2019

Дообучение на Sintel, KITTI15 и HD1K, 800 000 итераций



D. Sun et al., “Models matter, so does training: an empirical study of CNNs for optical flow estimation,” in *IEEE TPAMI*, 2019

Сравнение результатов: Sintel

Methods	Training		Test		Time (s)
	Clean	Final	Clean	Final	
PatchBatch [61]	-	-	5.79	6.78	50.0
EpicFlow [28]	-	-	4.12	6.29	15.0
MRFFlow [35]	1.83	3.59	2.53	5.38	480
FlowFieldsCNN [30]	-	-	3.78	5.36	23.0
SpyNet-ft [11]	(3.17)	(4.32)	6.64	8.36	0.16
FlowNet2 [10]	2.02	3.14	3.96	6.02	0.12
FlowNet2-ft [10]	(1.45)	(2.01)	4.16	5.74	0.12
FlowNetS+	(2.80)	(2.76)	6.49	6.54	0.01
FlowNetC+	2.31	2.34	5.04	5.47	0.05
PWC-Net-small	2.83	4.08	-	-	0.02
PWC-Net-small-ft	(2.27)	(2.45)	5.05	5.32	0.02
PWC-Net	2.55	3.93	-	-	0.03
PWC-Net-ft	(1.70)	(2.21)	3.86	5.13	0.03
PWC-Net-ft-final	(2.02)	(2.08)	4.39	5.04	0.03
PWC-Net_ROB	(1.81)	(2.29)	3.90	4.90	0.03
PWC-Net+	(1.71)	(2.34)	3.45	4.60	0.03

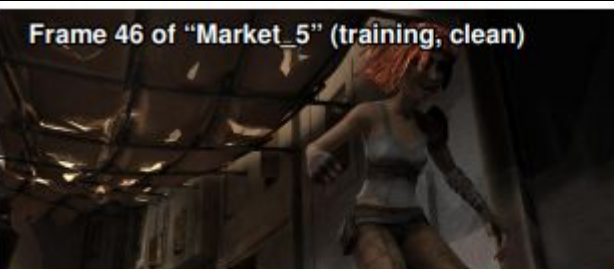
D. Sun et al., "Models matter, so does training: an empirical study of CNNs for optical flow estimation," in *IEEE TPAMI*, 2019

Сравнение результатов: KITTI

Methods	KITTI 2012			KITTI 2015		
	AEPE <i>train</i>	AEPE <i>test</i>	Fl-Noc <i>test</i>	AEPE <i>train</i>	Fl-all <i>train</i>	Fl-all <i>test</i>
EpicFlow [28]	-	3.8	7.88%	-	-	26.29 %
FlowFields [62]	-	-	-	-	-	19.80%
MRFFlow [35]	-	-	-	-	14.09 %	12.19 %
DCFlow [17]	-	-	-	-	15.09 %	14.83 %
SDF [29]	-	2.3	3.80%	-	-	11.01 %
MirrorFlow [63]	-	2.6	4.38%	-	9.93%	10.29%
SpyNet-ft [11]	(4.13)	4.7	12.31%	-	-	35.07%
FlowNet2 [10]	4.09	-	-	10.06	30.37%	-
FlowNet2-ft [10]	(1.28)	1.8	4.82%	(2.30)	(8.61%)	10.41 %
LiteFlowNet-CVPR	(1.26)	1.7	-	(2.16)	(8.16%)	10.24 %
LiteFlowNet-arXiv	(1.05)	1.6	3.27%	(1.62)	(5.58%)	9.38 %
PWC-Net	4.14	-	-	10.35	33.67%	-
PWC-Net-ft-CVPR	(1.45)	1.7	4.22%	(2.16)	(9.80%)	9.60%
PWC-Net-ft	(1.08)	1.5	3.41%	(1.45)	(7.59%)	7.90%

D. Sun et al., “Models matter, so does training: an empirical study of CNNs for optical flow estimation,” in *IEEE TPAMI*, 2019

Frame 46 of "Market_5" (training, clean)



Ground truth



W/o context



W/o DenseNet



PWC-Net



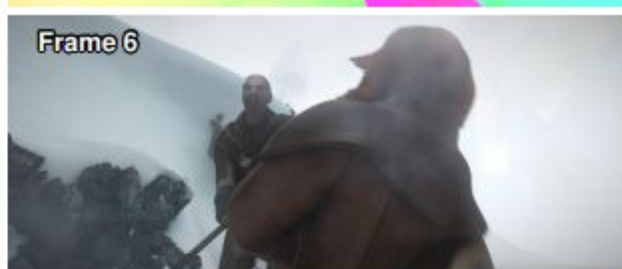
PWC-Net-Sintel-ft



Frame 5 of "Ambush_3" (test, final)



Frame 6



W/o context



W/o DenseNet



PWC-Net



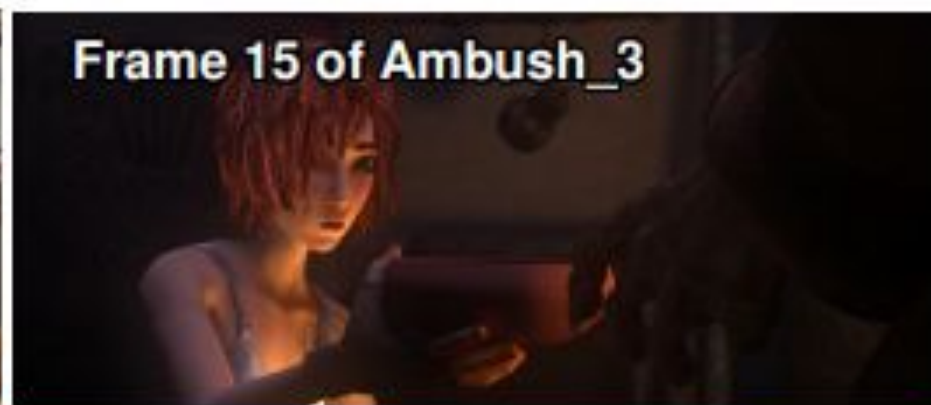
PWC-Net-Sintel-ft



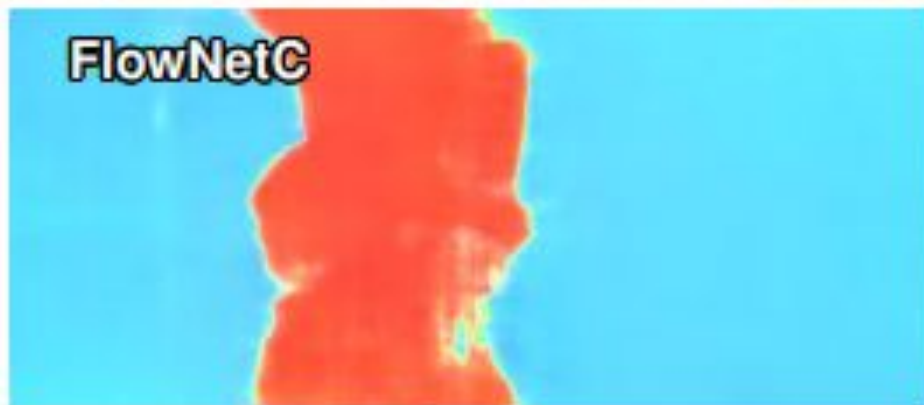
Frame 11 of Market_1



Frame 15 of Ambush_3



FlowNetC



FlowNetC



FlowNetC+



FlowNetC+



Methods	FlowNetS	FlowNetC	FlowNet2	SpyNet	PWC-Net	PWC-Net-small
#parameters (M)	38.67	39.17	162.49	1.2	8.75	4.08
Parameter Ratio	23.80%	24.11%	100%	0.74%	5.38%	2.51%
Memory (MB)	154.5	156.4	638.5	9.7	41.1	22.9
Memory Ratio	24.20%	24.49%	100%	1.52%	6.44%	3.59%
Training (days)	4	6	>14	-	4.8	4.1
Forward (ms)	11.40	21.69	84.80	-	28.56	20.76
Backward (ms)	16.71	48.67	78.96	-	44.37	28.44

Достоинства:

- Авторы провели подробное исследование производительности PWC-Net для различных способов обучения, улучшили свой предыдущий результат
- Лучшие модели выложены вместе со скриптами обучения

Недостаток:

- Сложность расписания обучения, применимость только для Sintel

Содержание

- Введение
- Методы поиска областей открытия/закрытия
- Методы поиска оптического потока
- **Заключение**

Заключение

Методы поиска областей о/з

Название	Тип	Sintel Clean	Sintel Final
IRR-PWC	с учителем	0.71	0.67
FlowNet-CSSR	с учителем	0.70	0.65
Метод Александры	с учителем	0.56	0.53
OccAwareFlow	без учителя	0.54	0.48
ContinualFlow_ROB	с учителем	-	0.48
MODOF	не нейросеть	-	0.48
Back2FutureFlow	без учителя	0.49	0.44
S2DFlow	не нейросеть	0.38	0.35
MirrorFlow	не нейросеть	0.39	-

Заключение

В докладе были рассмотрены:

- Методы одновременного вычисления областей открытия/закрытия и оптического потока
- Способы улучшения уже зарекомендовавших себя методов поиска оптического потока

Планы

- Использование методов улучшения поиска оптического потока для поиска областей открытия/закрытия
- Разработать метод поиска областей открытия/закрытия в стереовидео, который бы превзошел текущий используемый в VQMT3D для построения карт доверия метод

Литература

1. H. Junhwa and S. Roth, “Iterative Residual Refinement for Joint Optical Flow and Occlusion Estimation,” in *Proceedings of the IEEE Conference on Computer Vision and Pattern Recognition*, pp. 5754-5763, 2019.
2. E. Ilg, T. Saikia, M. Keuper, and T. Brox, “Occlusions, motion and depth boundaries with a generic network for disparity, optical flow or scene flow estimation,” in *Proceedings of the European Conference on Computer Vision*, pp. 614-630, 2018.
3. M. Neoral, J. Šochman, and J. Matas, “Continual Occlusion and Optical Flow Estimation,” in *Asian Conference on Computer Vision*, pp. 159-174, Springer, Cham, 2018.
4. Z. Ren, O. Gallo, D. Sun, M.-H. Yang, E. Sudderth, and J. Kautz, “A fusion approach for multi-frame optical flow estimation,” in *IEEE Winter Conference on Applications of Computer Vision*, pp. 2077-2086, 2019.
5. D. Sun, X. Yang, M. Y. Liu, and J. Kautz, “Models Matter, So Does Training: An Empirical Study of CNNs for Optical Flow Estimation,” in *IEEE Transactions on Pattern Analysis and Machine Intelligence*, 2019.